



Universidad Tecnológica de la Mixteca

**“Método de Tensor para Programación no
Lineal sin Restricciones”**

T E S I S

Para obtener el Título de:

Licenciado en Matemáticas Aplicadas

PRESENTA:

Marcelino Ramírez Ibáñez

DIRECTOR DE TESIS:

M. C. Luis René Marcial Castillo

Huajuapán de León Oax., Octubre de 2003

Índice General

Agradecimientos	v
Introducción	vii
1 Generalidades	1
1.1 Definiciones Básicas	1
1.2 Estrategias de Búsqueda	3
1.2.1 Búsqueda Lineal	4
1.2.2 Región de Con...anza	4
2 Programación no Lineal sin Restricciones	5
2.1 Método de Máximo Descenso	5
2.2 Método de Gradientes Conjugados	6
2.2.1 Método de Flecher-Reeves	6
2.2.2 Método de Polak-Ribiere	8
2.2.3 Método de Hestenes-Stiefel	8
2.3 Tamaño de Paso	9
2.3.1 Las Condiciones de Wolfe	9
3 Método de Tensor	13
3.1 Definiciones y Notación	14
3.2 Formulación del Método de Tensor	14
3.3 Método de Tensor para Matriz Hessiana no Singular	18
3.4 Algoritmo del Método de Tensor	20
4 Algoritmos Instrumentados	23
4.1 Búsqueda Lineal	23
4.2 Máximo Descenso	25
4.3 Gradientes Conjugados	26
4.4 Método de Tensor	26
5 Software y Pruebas Realizadas	29
5.1 OPTIMIN	29
5.2 Pruebas	30
5.2.1 Función de Rosenbrock	30

5.2.2	Función de Rosenbrock Extendida	32
5.2.3	Función Wood	34
6	Conclusiones	37
7	Manual de Usuario	39
7.1	Ejecución y Funcionamiento	40
7.1.1	Ventana Principal de OPTIMIN	40
7.1.2	Menú Archivo	42
7.1.3	Menú Gráfica	47
7.1.4	Menú Ayuda	50
7.2	Declaración de funciones a minimizar	50
7.3	Ejemplo	60
	Bibliografía	66

Agradecimientos

... Y me pregunto ¿Quién Soy?
soy polvo, soy piedra,
soy río, soy planta,
soy ave que vuela, que canta.
Soy hombre que da gracias,
al dador de la vida, por el amor que derrama
sobre la piedra, el río, la planta.

Introducción

Este trabajo de tesis resuelve el problema:

$$\min_{x \in \mathbb{R}^n} f(x) \quad (1)$$

donde $f \in C^2$. Este es un problema de programación no lineal sin restricciones, en el que se intenta encontrar algún minimizador local de la función objetivo f sobre todo su dominio.

La estrategia que usan los métodos de programación, es moverse de una iteración a otra de tal manera que la función objetivo sea minimizada en cada una de ellas. Una de las estrategias es usar información local de la iteración actual, tal es el caso del método de máximo descenso, cuya dirección de descenso es el negativo del gradiente en el punto actual; otra de las estrategias es hacer uso de los valores de la primera y segunda derivada de la función objetivo.

Existen muchos métodos para encontrar el mínimo de (1); el que propone este trabajo de tesis es el Método de Tensor. Este método utiliza una estrategia distinta a los métodos estándar, ya que se basa en el modelo de cuarto orden:

$$M_T(x_c + d) = f(x_c) + \nabla f(x_c) \cdot d + \frac{1}{2} \nabla^2 f(x_c) : d^2 + \frac{1}{6} T_c \cdot d^3 + \frac{1}{24} V_c \cdot d^4, \quad (2)$$

donde $d \in \mathbb{R}^n$, x_c es el punto actual, $\nabla f(x_c)$ y $\nabla^2 f(x_c)$ son la primera y segunda derivada analítica de f en x_c o una aproximación en diferencias finitas de ellas, y los términos tensoriales en x_c , $T_c \in \mathbb{R}^{n \times n \times n}$ y $V_c \in \mathbb{R}^{n \times n \times n \times n}$ son simétricos.

El modelo (2) en el que se basa el método de tensor, se puede ver como un polinomio de Taylor de orden cuatro, donde los términos tensoriales que aparecen en él interpolan a la función y al gradiente de la función en la iteración anterior. Este método, como todos los métodos de programación es iterativo: empieza con un punto inicial y genera una sucesión de puntos de tal manera que se alcance la solución. Además, el método de tensor hace uso de los términos tensoriales para lograr la convergencia más rápido.

El método de tensor fue introducido por Schnabel y Chow[1]. Este tipo de método trata de obtener mejores resultados que los métodos tradicionales de programación sin restricciones; e intenta ser al menos tan eficiente como los métodos tradicionales en problemas donde $\nabla^2 f(x)$ es no singular. El método

propuesto por Schnabel y Chow[1] sólo trabaja para n pequeña (menor que cien), y tiene problemas cuando la matriz hessiana es rala, es decir, la matriz hessiana tiene muchos ceros.

Este trabajo se basa en el artículo de Ali Bouaricha[2], donde el autor extiende el método de tensor para n grande y matriz hessiana rala. Sólo se estudia el caso donde la matriz hessiana es no singular.

En este trabajo se compararon los resultados obtenidos al aplicar el método de tensor y los métodos estándar, y para ello se creó el programa **OPTIMIN**. En todos los casos el método de tensor obtuvo mejores resultados, mismos que se muestran en el capítulo 5.

OPTIMIN es un programa que se desarrolló con el fin de resolver (1), con los siguientes métodos: máximo descenso, gradientes conjugados y del tensor. Por medio de **OPTIMIN**, es posible comparar los métodos antes mencionados, ya que cuenta con la opción de graficar el comportamiento del método a través del tiempo y de salvar los resultados que arroja el método instrumentado.

En el capítulo 1 se dan algunos conceptos preliminares que se ocupan a lo largo del trabajo y que son útiles para el desarrollo del mismo, no se hace una explicación extensa de los mismos, en lugar de ello se da una breve descripción de ellos. Para una explicación más detallada ver (Dennis y Schnabel, 1991), (Gill, Murray y Wright, 1981), (Chong y Stanislaw, 1996) y (Nocedal y Wright, 1999).

En el capítulo 2 se da una breve explicación de algunos métodos clásicos para la programación no lineal sin restricciones en la búsqueda de minimizadores locales de funciones no lineales, tales como el de máximo descenso y el de gradientes conjugados, los cuales nos servirán para comparar con el método de tensor. En la práctica es bien sabido que un factor muy importante en la convergencia de los métodos de programación sin restricciones es el tamaño de paso, por lo que se dedica parte de este capítulo al estudio del mismo.

En el capítulo 3 se desarrolla el método de tensor y se explican sus fundamentos teóricos.

En el capítulo 4 se explican los algoritmos instrumentados: máximo descenso, gradientes conjugados, método de tensor y búsqueda lineal.

En el capítulo 5 se dan algunas características del programa **OPTIMIN**, así como resultados del método de tensor comparado con el método de máximo descenso y el de gradientes conjugados, aplicados a problemas prueba.

En el capítulo 6 se muestran algunas conclusiones sobre el método de tensor y su implementación en **OPTIMIN**.

El capítulo 7 está dedicado al programa **OPTIMIN**, se da el manual de usuario y algunos ejemplos de cómo opera. Este programa cuenta con una interfaz gráfica amigable que permite al usuario encontrar mínimos de funciones prueba ya instaladas. También está diseñado para la minimización de nuevas funciones de prueba por el usuario.

Por último, se muestra la bibliografía utilizada en este trabajo de tesis.

Capítulo 1

Generalidades

En este capítulo se desarrollan algunos conceptos básicos de la programación sin restricciones, dado que el trabajo pertenece a esta área, es importante entender bien las ideas y conceptos que están alrededor de ella. La mayoría de los conceptos provienen del cálculo, álgebra lineal y análisis numérico, entre otros. Donde surgen conceptos nuevos, es en cómo se plantea el método de Newton ya que contiene algunos términos tensoriales que requieren de ideas y notaciones nuevas, pero esto se estudia en el capítulo 4. Así que por el momento sólo se enfoca a los conceptos básicos de la programación sin restricciones.

1.1 Definiciones Básicas

Dado que la intención es encontrar el mínimo de una función f , a continuación daremos la definición matemática de este concepto para después, con la ayuda del cálculo, poder establecer algunos criterios que nos ayuden a reconocer dichos mínimos.

Definición 1.1 (Minimizador local) Sea la función $f : \mathbb{R}^n \rightarrow \mathbb{R}$ y S un subconjunto de \mathbb{R}^n . Un punto x^* es un **minimizador local** de f en S si existe $\epsilon > 0$ tal que $f(x) \geq f(x^*)$ para todo $x \in S$ con $\|x - x^*\| < \epsilon$. En caso de que se cumpla $f(x) > f(x^*)$ entonces decimos que el punto x^* es un **minimizador local estricto**.

Definición 1.2 (Minimizador global) Sea la función $f : \mathbb{R}^n \rightarrow \mathbb{R}$ y S un subconjunto de \mathbb{R}^n . Un punto x^* es un **minimizador global** de f sobre S si $f(x) \geq f(x^*)$ para todo $x \in S$.

En la figura 1.1 se da un ejemplo de minimizador local, minimizador local estricto y minimizador global.

Definición 1.3 La función continua $f : \mathbb{R}^n \rightarrow \mathbb{R}$ se dice que es **continuamente diferenciable** en $x \in \mathbb{R}^n$, si $(\partial f / \partial x_i)(x)$ existe en una vecindad de

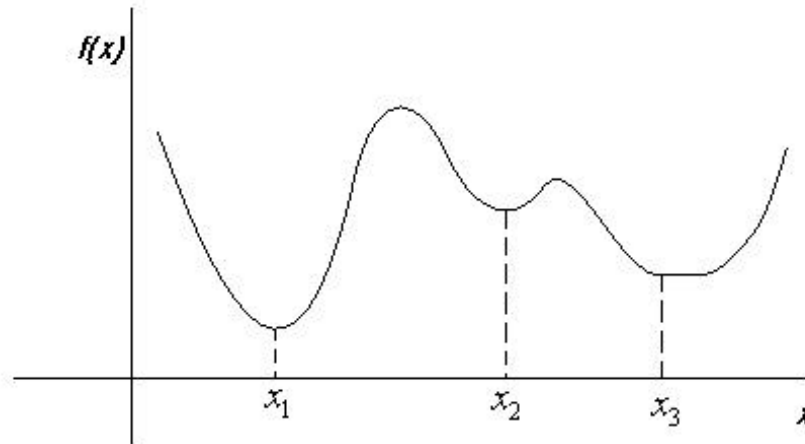


Figura 1.1: Ejemplos de minimizadores: x_1 : minimizador global, x_2 : minimizador local estricto, x_3 : minimizador local (no estricto).

f es continua en x , con $i = 1, 2, \dots, n$. En este caso el gradiente de f en x está definido como

$$\nabla f(x) = \left(\frac{\partial f}{\partial x_1}(x), \dots, \frac{\partial f}{\partial x_n}(x) \right)^T.$$

Como se puede ver, el gradiente es una función de \mathbb{R}^n en \mathbb{R}^n , si f es continuamente diferenciable en \mathbb{R}^n .

Definición 1.4 La función f se dice que es continuamente diferenciable en una vecindad abierta $D \subseteq \mathbb{R}^n$, denotado por $f \in C^1(D)$, si es continuamente diferenciable en cada punto $x \in D$.

Teorema 1.5 (CNPO¹) Sea $f : \mathbb{R}^n \rightarrow \mathbb{R}$ una función continuamente diferenciable en un conjunto abierto que contiene a x^* . Si x^* es un minimizador local de f , entonces $\nabla f(x^*) = 0$.

Es importante señalar que la implicación de regreso no se cumple: por ejemplo para la función continuamente diferenciable $f(x) = x^3$ el gradiente en $x = 0$ es cero, pero 0 no es un minimizador de f , de hecho $x = 0$ es un punto de inflexión de f .

Definición 1.6 La función continua $f : \mathbb{R}^n \rightarrow \mathbb{R}$ se dice que es dos veces continuamente diferenciable (continuamente diferenciable de orden dos) en

¹ Condición Necesaria de Primer Orden.

$x \in \mathbb{R}^n$, si $\nabla^2 f / \partial x_i \partial x_j (x)$ existe en una vecindad de x y es continua en x , con $1 \leq i, j \leq n$; la hessiana H de f en x está definida como la matriz de $n \times n$ cuyos elementos i, j son:

$$r^2 f(x)_{ij} = \frac{\partial^2 f(x)}{\partial x_i \partial x_j}, \quad 1 \leq i, j \leq n.$$

Al punto x^* que satisface $\nabla f(x^*) = 0$, se le llamará punto estacionario. Luego, de acuerdo al teorema anterior cualquier minimizador local es un punto estacionario. Así, los puntos x_2 y x_3 de la figura 1.1 son puntos estacionarios.

Definición 1.7 La función f se dice que es continuamente diferenciable de orden dos en una vecindad abierta $D \subseteq \mathbb{R}^n$, denotado por $f \in C^2(D)$, si es dos veces continuamente diferenciable en cada punto $x \in D$.

Teorema 1.8 (CNSO²) Sea $f : \mathbb{R}^n \rightarrow \mathbb{R}$, $f \in C^2(D)$ con D una vecindad abierta de x^* . Si x^* es un minimizador local de f , entonces $\nabla f(x^*) = 0$ y $H(x^*)$ es semidefinida positiva, esto es, para toda $p \in \mathbb{R}^n$ se cumpla que $p^T H(x^*) p \geq 0$.

El siguiente teorema nos describe las condiciones suficientes para saber si un punto es un minimizador local de una función f .

Teorema 1.9 (CSSO³) Sea $f : \mathbb{R}^n \rightarrow \mathbb{R}$, $f \in C^2(D)$ con D una vecindad abierta de x^* . Si $\nabla f(x^*) = 0$ y $H(x^*)$ es definida positiva, entonces x^* es un minimizador local estricto de f .

Recordar que uno de los criterios para que una matriz $A \in \mathbb{R}^{n \times n}$ sea definida positiva es que para toda $p \in \mathbb{R}^n$, $p \neq 0$ se cumple que $p^T A p > 0$.

Nótese que la implicación de regreso en CNSO no necesariamente se cumple: un punto x^* puede ser un minimizador local estricto y no cumplir alguna de las condiciones suficientes. Por ejemplo la función $f(x) = x^4$, para la cual $x^* = 0$ es un minimizador estricto en el cual la matriz hessiana se anula, $H(x^*)$ no es definida positiva.

1.2 Estrategias de Búsqueda

Empezando en un punto inicial x_0 , los algoritmos de programación generan una sucesión de iteraciones $\{x_k\}_{k=0}^1$ que terminan ya sea cuando no se puede hacer más progreso o cuando ya se ha aproximado suficientemente a la solución con buena precisión. Al decidir como moverse de un punto x_k al siguiente, los algoritmos usan información acerca de f en x_k y posiblemente información de los puntos anteriores. Utilizan esta información para encontrar el nuevo punto x_{k+1} con un valor en la función objetivo menor al de x_k .

² Condición Necesaria de Segundo Orden.

³ Condición Suficiente de Segundo Orden.

Existen dos estrategias fundamentales para ir del punto actual x_k al siguiente x_{k+1} : búsqueda lineal y región de con...anza. Todos los algoritmos desarrollados en este trabajo solo utilizan una de las estrategias : la búsqueda lineal. En la sección 2.3 se hace un análisis más profundo de esta).

1.2.1 Búsqueda Lineal

Una de las estrategia es la llamada búsqueda lineal, en la cual el algoritmo elige una dirección d_k , y busca a lo largo de esta dirección un nuevo punto x_{k+1} que disminuya la función objetivo desde el punto actual x_k . Esto se puede hacer resolviendo el siguiente problema de programación unidimensional para α (el tamaño de paso).

$$\min_{\alpha > 0} f(x_k + \alpha d_k). \quad (1.1)$$

Al resolver (1.1) se quiere obtener el máximo bene...cio en la dirección d_k , pero una minimización exacta es costosa computacionalmente hablando. En lugar de ello, el algoritmo de búsqueda lineal genera una sucesión ...nita de tamaños de paso hasta que se aproxime a algún mínimo de (1.1). En el nuevo punto se calcula la dirección de descenso, el tamaño de paso y el proceso se repite.

1.2.2 Región de Con...anza

En la otra estrategia, conocida como región de con...anza, la información obtenida acerca de f es usada para construir una función modelo m_k cuyo comportamiento cerca del punto actual x_k es similar al de la función objetivo f . Como el modelo m_k puede no ser una buena aproximación de f cuando x está lejos de x_k , se restringe la búsqueda del minimizador de m_k a alguna región alrededor de x_k . Es decir, se encuentra el candidato p resolviendo el siguiente problema:

$$\begin{aligned} \min_{p \in \mathbb{R}^n} m_k &= f_k + \mathbf{r} f_k^T p + p^T B_k p \\ &s.a. \\ &\|p\| < \mathfrak{C}_k, \end{aligned}$$

donde f_k y $\mathbf{r} f_k$ son la función y el gradiente evaluados en x_k . La matriz B_k puede ser la hessiana $\mathbf{r}^2 f_k$ o una aproximación a ella en el punto x_k .

Capítulo 2

Programación no Lineal sin Restricciones

En este capítulo se abordan los métodos de máximo descenso y gradientes conjugados, los cuales se eligieron para compararlos con el método de Newton. Se darán algunas de sus características principales y en el capítulo 5 se describe detalladamente su implementación algorítmica.

Todos los métodos de programación sin restricciones tratan de resolver el problema

$$\min_{x \in \mathbb{R}^n} f(x) \quad (2.1)$$

donde f es al menos dos veces continuamente diferenciable.

2.1 Método de Máximo Descenso

El método de máximo descenso es un algoritmo de gradiente donde el tamaño de paso α_k es seleccionado de tal manera que se alcanza el máximo decrecimiento de la función objetivo en cada paso en la dirección negativa del gradiente, esto es, $d_k = -\nabla f(x_k)$.

Para calcular un punto estacionario de (2.1), el método de máximo descenso usa el siguiente esquema:

Si $\|d_k\| = 0$, parar el método y x_k es un punto estacionario de f ; de lo contrario se procede a calcular el tamaño de paso α_k .

$$\alpha_k = \arg \min_{\alpha \geq 0} f(x_k + \alpha d_k),$$

luego el nuevo punto será:

$$x_{k+1} = x_k + \alpha_k d_k,$$

y después se procede a iterar.

Una característica del método de máximo descenso, que no es difícil de probar, es que se mueve ortogonalmente en cada paso; esto es $x_{k+1} - x_k$ es ortogonal a $x_{k+2} - x_{k+1}$.

2.2 Método de Gradientes Conjugados

La introducción del método de gradiente conjugado para funciones no lineales por Fletcher-Reeves en los 60's, marcó un gran avance en el campo de la programación sin restricciones. De hecho, es una de las primeras técnicas para resolver este tipo de problemas de programación. Numerosas variantes del método de Fletcher-Reeves se han propuesto en los últimos años, y algunas son ampliamente usadas en la práctica. Algunas de las ventajas que tienen estos métodos es que no requieren de almacenamiento de matrices y son más rápidos que el método de máximo descenso.

2.2.1 Método de Fletcher-Reeves

El método de Fletcher-Reeves surge como una modificación al método de gradiente conjugado lineal, donde se resuelve un sistema lineal de ecuaciones de la forma $Ax = b$, con A matriz simétrica y definida positiva.

El algoritmo de gradiente conjugado propuesto por Fletcher y Reeves (FR-GC), es el siguiente:

Algoritmo 2.1 Entrada: Punto inicial x_0 .

$f_0 \leftarrow f(x_0)$, $r_0 \leftarrow -\nabla f(x_0)$;

$p_0 \leftarrow r_0$, $k \leftarrow 0$;

Mientras $\|r_k\| \neq 0$

 Calcular α_k con una búsqueda lineal;

$x_{k+1} \leftarrow x_k + \alpha_k p_k$;

 Evaluar r_{k+1} ;

$$\beta_{k+1}^{FR} \leftarrow \frac{r_{k+1}^T r_{k+1}}{r_k^T r_k}; \quad (2.2)$$

$$p_{k+1} \leftarrow -r_{k+1} + \beta_{k+1}^{FR} p_k; \quad (2.3)$$

$$k \leftarrow k + 1;$$

Fin(mientras).

Aquí α_k es el tamaño de paso, r_k es el gradiente evaluado en x_k . Es necesario que α_k cumpla las condiciones fuertes de Wolfe para asegurar que la dirección p_k sea de descenso y el nuevo punto x_{k+1} sea satisfactorio. Se mencionan aquí las condiciones fuertes de Wolfe (2.17) y (2.18) que son necesarias para satisfacer la condición de descenso, y en la sección 2.3 se describen ampliamente.

$$f(x_k + \alpha p_k) \leq f(x_k) + c_1 \alpha r_k^T p_k, \quad (2.4)$$

$$-r_{k+1}^T p_k \geq c_2 r_k^T p_k, \quad (2.5)$$

con $0 < c_1 < c_2 < 1$

Probemos que las direcciones p_k generadas por el algoritmo (FR-GC) son de descenso, para ello se utilizará el siguiente lema

Lema 2.2 Supóngase que se implementa el algoritmo (FR-GC) con tamaño de paso α_k que satisface las condiciones fuertes de Wolfe (2.4) y (2.5) con $0 < c_2 < \frac{1}{2}$. Entonces, el método genera direcciones de descenso p_k que satisfacen las siguientes desigualdades

$$\frac{1}{1 - c_2} \leq \frac{r_k^T p_k}{kr_k k^2} \leq \frac{2c_2}{1 - c_2}, \quad \text{para toda } k = 0, 1, \dots \quad (2.6)$$

Demostración. La prueba es por inducción. Para $k = 0$, el término $\frac{r_k^T p_k}{kr_k k^2} = \frac{1}{1 - c_2}$, luego como $c_2 \leq 1 < 2c_2 \leq 1$, entonces $\frac{1}{1 - c_2} < \frac{2c_2}{1 - c_2}$ y por tanto (2.6) se cumple.

Supóngase que (2.6) se cumple para algún $k \geq 1$. Multiplicando por r_{k+1}^T en ambos lados de (2.3) tenemos

$$r_{k+1}^T p_{k+1} = \frac{1}{k} kr_{k+1} k^2 + \beta_{k+1}^{FR} r_{k+1}^T p_k,$$

dividiendo ambos lados de la ecuación anterior por $kr_{k+1} k^2$ y utilizando (2.2) obtenemos

$$\frac{r_{k+1}^T p_{k+1}}{kr_{k+1} k^2} = \frac{1}{k} + \frac{(r_{k+1}^T r_{k+1}) r_{k+1}^T p_k}{(r_k^T r_k) kr_k k^2} = \frac{1}{k} + \frac{r_{k+1}^T p_k}{kr_k k^2}. \quad (2.7)$$

Usando la condición de Wolfe (2.5) tenemos

$$r_{k+1}^T p_k \leq c_2 r_k^T p_k,$$

de donde

$$\frac{1}{k} + c_2 \frac{r_k^T p_k}{kr_k k^2} \leq \frac{1}{k} + \frac{r_{k+1}^T p_k}{kr_k k^2} \leq \frac{1}{k} + c_2 \frac{r_k^T p_k}{kr_k k^2},$$

y combinando la desigualdad anterior con la ecuación (2.7) tenemos

$$\frac{1}{k} + c_2 \frac{r_k^T p_k}{kr_k k^2} \leq \frac{r_{k+1}^T p_{k+1}}{kr_{k+1} k^2} \leq \frac{1}{k} + c_2 \frac{r_k^T p_k}{kr_k k^2}.$$

Sustituyendo el lado izquierdo de la hipótesis de inducción para $r_k^T p_k / kr_k k^2$ se obtiene

$$\frac{1}{k} \leq \frac{c_2}{1 - c_2} \leq \frac{r_{k+1}^T p_{k+1}}{kr_{k+1} k^2} \leq \frac{1}{k} + \frac{c_2}{1 - c_2},$$

equivalentemente

$$i \frac{1}{1 - c_2} \cdot \frac{r f_{k+1}^T p_{k+1}}{k r f_{k+1} k^2} \cdot \frac{2c_2 i - 1}{1 - c_2},$$

por tanto, (2.6) se cumple para $k + 1$. ■

Del lema anterior, como $c_2 \in (0, \frac{1}{2})$, entonces $\frac{2c_2 i - 1}{1 - c_2} < 0$ y por tanto $r f_k^T p_k < 0$, lo cual muestra que la dirección p_k es de descenso.

2.2.2 Método de Polak-Ribiere

Hay muchas variantes del método de Fletcher-Reeves que difieren principalmente en la elección del parámetro β_k . Uno de los más importantes y también uno de los más usados, es el propuesto por Polak-Ribiere, el cual define el parámetro de la siguiente manera:

$$\beta_{k+1}^{PR} = \frac{r f_{k+1}^T (r f_{k+1} - r f_k)}{k r f_k k^2}. \quad (2.8)$$

Si en el algoritmo (FR-GC) se reemplaza (2.2) por (2.8) se tiene el algoritmo propuesto por Polak y Ribiere (PR-GC). Un hecho sorprendente es que para este algoritmo, las condiciones fuertes de Wolfe no garantizan que p_k sea siempre una dirección de descenso. Si se define el parámetro β_k como

$$\beta_{k+1}^+ = \max\{\beta_{k+1}^{PR}, 0\}, \quad (2.9)$$

y se hace una simple adaptación a las condiciones fuertes de Wolfe, sí se puede asegurar que se satisfaga la condición de descenso.

2.2.3 Método de Hestenes-Stiefel

Otra de las variantes del método de Fletcher-Reeves es el propuesto por Hestenes-Stiefel donde β_k está dada por:

$$\beta_{k+1}^{PR} = \frac{r f_{k+1}^T (r f_{k+1} - r f_k)}{(r f_{k+1} - r f_k)^T p_k}. \quad (2.10)$$

En la práctica, ninguna de las β_k propuestas ha probado ser más eficiente que la del método de Polak-Ribiere (2.8). Esto no quiere decir que siempre el método de Polak-Ribiere converge más rápido hacia el minimizador o que siempre de las mejores aproximaciones; sino que en la mayoría de los casos ofrece mejores resultados, pero hay ocasiones en que es necesario usar algún otro método. En el capítulo 6 se muestran algunos ejemplos que ilustran lo anterior.

2.3 Tamaño de Paso

En esta sección se mencionan algunas consideraciones para hacer la correcta elección del tamaño de paso α_k , ya que el éxito de los métodos de búsqueda lineal depende de las correctas elecciones de la dirección d_k y del tamaño de paso α_k .

En cada iteración, los métodos de búsqueda lineal calculan una dirección de descenso d_k y deciden que tanto moverse a lo largo de esa dirección. La iteración está dada por:

$$x_{k+1} = x_k + \alpha_k d_k, \quad (2.11)$$

donde el escalar positivo α_k es llamado el tamaño de paso.

Al calcular el tamaño de paso α_k se requiere hacer una reducción significativa de f , pero al mismo tiempo, no se quiere gastar mucho tiempo haciendo tal elección. La elección ideal sería el minimizador global de la función univariada $\phi(\alpha)$ definida por

$$\phi(\alpha) = f(x_k + \alpha d_k), \quad \alpha > 0, \quad (2.12)$$

pero en general es muy costoso encontrar este valor. También, encontrar un minimizador local de ϕ con moderada precisión generalmente requiere de muchas evaluaciones de la función objetivo f y posiblemente del gradiente ∇f . Estrategias más prácticas efectúan búsquedas lineales inexactas para identificar el tamaño de paso que alcance adecuadas reducciones en f al mínimo costo.

Una condición simple que podemos imponer a α_k es que produzca una reducción en cada paso en f , esto es, $f(x_k + \alpha_k d_k) < f(x_k)$. Pero esto no es suficiente como se ilustra en la figura 2.1, donde el mínimo es $f(x^*) = 1$, con $x^* = 1$; y la sucesión de puntos x_k no generan suficiente reducción en f . Lo que veremos mas adelante es cómo impedir que suceda este tipo de situaciones.

2.3.1 Las Condiciones de Wolfe

Una condición muy popular en la búsqueda lineal inexacta es la que especifica que el tamaño de paso α_k , primero que todo, proporcione un suficiente decrecimiento en la función objetivo f , medido por la siguiente desigualdad:

$$f(x_k + \alpha d_k) \leq f(x_k) + c_1 \alpha \nabla f_k^T d_k, \quad (2.13)$$

para alguna constante $c_1 \in (0,1)$. En otras palabras, la reducción en f debe ser proporcional a ambos, el tamaño de paso α_k y la derivada direccional $\nabla f_k^T d_k$. La desigualdad (2.13) es algunas veces llamada como la condición de Armijo.

El lado derecho de la ecuación (2.13), puede ser denotado por $l(\alpha)$. La función $l(\alpha)$ tiene pendiente negativa $c_1 \nabla f_k^T d_k$. En la práctica, el valor elegido de c_1 es pequeño, por ejemplo $c_1 = 10^{-4}$. Es así, como la condición de suficiente decrecimiento se satisface cuando α cumple que $\phi(\alpha) \leq l(\alpha)$.

La condición de Armijo no es suficiente por si misma para asegurar que el algoritmo haga progresos razonables, ya que puede ser satisfecha por valores de

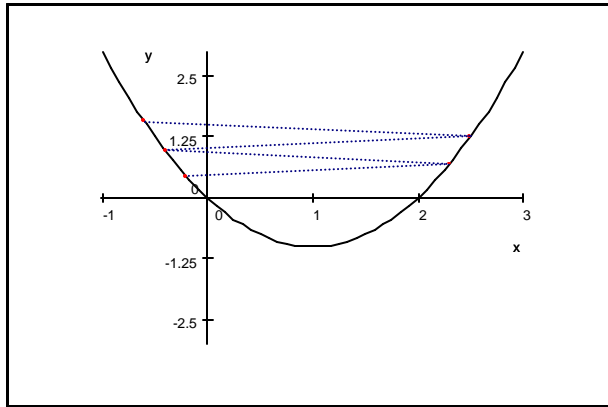


Figura 2.1: Sucesión de puntos que genera insuficiente reducción en f .

α muy pequeños. Para no aceptar tamaños de paso muy pequeños se introduce una segunda condición, llamada la condición de curvatura, la cual pide que se satisfaga

$$\mathbf{r} f(x_k + \alpha_k d_k)^T d_k \geq c_2 \mathbf{r} f_k^T d_k, \quad (2.14)$$

para alguna constante $c_2 \in (c_1, 1)$, donde c_1 es la constante de (2.13). Para mejores resultados, el valor de c_2 se toma como 0.9 cuando la dirección de búsqueda d_k es elegida por un método de Newton o Quasi-Newton y 0.1 cuando d_k es obtenida por un método de gradientes conjugados.

Las condiciones de curvatura y suficiente decrecimiento colectivamente son conocidas como las condiciones de Wolfe. Estas condiciones se vuelven a plantear aquí para futuras referencias:

$$f(x_k + \alpha d_k) \leq f(x_k) + c_1 \alpha \mathbf{r} f_k^T d_k, \quad (2.15)$$

$$\mathbf{r} f(x_k + \alpha_k d_k)^T d_k \geq c_2 \mathbf{r} f_k^T d_k, \quad (2.16)$$

con $0 < c_1 < c_2 < 1$.

Se puede modificar la condición de curvatura para forzar que α_k esté en la vecindad de un minimizador local o punto estacionario de ϕ , exigiendo que satisfaga las llamadas condiciones fuertes de Wolfe:

$$f(x_k + \alpha d_k) \leq f(x_k) + c_1 \alpha \mathbf{r} f_k^T d_k, \quad (2.17)$$

$$\mathbf{r} f(x_k + \alpha_k d_k)^T d_k \leq c_2 \mathbf{r} f_k^T d_k, \quad (2.18)$$

con $0 < c_1 < c_2 < 1$.

La pregunta inmediata que se deriva de las condiciones de Wolfe es, ¿existen tamaños de paso que las satisfagan para cualquier función f suave y acotada inferiormente?. La respuesta es sí, y nos lo dice el siguiente lema

Lema 2.3 Supóngase que $f : \mathbb{R}^n \rightarrow \mathbb{R}$ es continuamente diferenciable. Sea d_k una dirección de descenso en x_k , y supóngase que f es acotada inferiormente a lo largo del rayo $x_k + \alpha d_k : \alpha > 0$. Entonces, si $0 < c_1 < c_2 < 1$, existen intervalos de tamaño de paso que satisfacen las condiciones de Wolfe (2.15)-(2.16) y las condiciones fuertes de Wolfe (2.17)-(2.18) [ver [6]].

Capítulo 3

Método de Tensor

En este capítulo se describe el método de tensor para resolver el problema de programación sin restricciones.

$$\text{Dada } f : \mathbb{R}^n \rightarrow \mathbb{R}, \text{ encontrar } x^* \in \mathbb{R}^n \text{ tal que } f(x^*) = \min_{x \in D} f(x), \quad (3.1)$$

donde D es algún conjunto abierto conteniendo a x^* y f es convexa en D . Se asume que $f \in C^2$ y n es grande.

El método de tensor para programación sin restricciones en cada iteración se basa en el modelo de cuarto orden de la función objetivo $f(x)$,

$$M_T(x_c + d) = f(x_c) + \nabla f(x_c) \cdot d + \frac{1}{2} \nabla^2 f(x_c) \cdot d^2 + \frac{1}{6} T_c \cdot d^3 + \frac{1}{24} V_c \cdot d^4, \quad (3.2)$$

donde $d \in \mathbb{R}^n$, x_c es el punto actual, $\nabla f(x_c)$ y $\nabla^2 f(x_c)$ son la primera y segunda deriva analítica de f en x_c o una aproximación en diferencias finitas de ellas, y los términos tensoriales en x_c , $T_c \in \mathbb{R}^{n \times n \times n}$ y $V_c \in \mathbb{R}^{n \times n \times n \times n}$ son simétricos. Los términos tensoriales son seleccionados de tal manera que el modelo interpola a la función y el gradiente en un punto anterior, lo cual es crucial para la eficiencia del método de tensor. Este método no requiere de más evaluaciones en la función o en las derivadas, y difícilmente más almacenamiento u operaciones aritméticas que aquellos métodos basados en el método de Newton.

Este capítulo está organizado de la siguiente manera. En la sección 3.1 se dan algunas definiciones y notaciones que se utilizan a lo largo del capítulo. En la sección 3.2 se hace una corta revisión de las técnicas introducidas por Schnabel y Chow [1] para formar el modelo de tensor. En la sección 3.3 se desarrolla el método de tensor cuando la matriz hessiana es no singular. En la sección 3.4 se describe brevemente el algoritmo del modelo de tensor para el caso de la matriz hessiana no singular.

3.1 Definiciones y Notación

Por comodidad se usa la notación $r f(x_c) \text{ } \text{ } d$ para $f(x_c)^T d$, $r^2 f(x_c) \text{ } \text{ } d^2$ para $d^T r^2 f(x_c) d$ para ser consistentes con la notación tensorial $T_c \text{ } \text{ } d^3$ y $V_c \text{ } \text{ } d^4$. También por simplicidad, se abrevian términos de la forma $dd, ddd, dddd$ por d^2, d^3, d^4 , respectivamente. Antes de continuar, se define la notación tensorial usada arriba.

Definición 3.1 Sean $T \in \mathbb{R}^{n \times n \times n}$ y $u, v, w \in \mathbb{R}^n$. Se definen $T \text{ } \text{ } uvw \in \mathbb{R}$, $T \text{ } \text{ } vw \in \mathbb{R}^n$, como

$$T \text{ } \text{ } uvw = \sum_{i=1}^n \sum_{j=1}^n \sum_{k=1}^n T(i, j, k) u(i) v(j) w(k),$$

$$(T \text{ } \text{ } vw)(i) = \sum_{j=1}^n \sum_{k=1}^n T(i, j, k) v(j) w(k), \text{ con } i = 1, 2, \dots, n.$$

Definición 3.2 Sean $V \in \mathbb{R}^{n \times n \times n \times n}$ y $r, u, v, w \in \mathbb{R}^n$. Se definen $V \text{ } \text{ } ruvw \in \mathbb{R}$, $V \text{ } \text{ } uvw \in \mathbb{R}^n$ como

$$V \text{ } \text{ } ruvw = \sum_{i=1}^n \sum_{j=1}^n \sum_{k=1}^n \sum_{l=1}^n V(i, j, k, l) r(i) u(j) v(k) w(l),$$

$$(V \text{ } \text{ } uvw)(i) = \sum_{j=1}^n \sum_{k=1}^n \sum_{l=1}^n V(i, j, k, l) u(j) v(k) w(l), \text{ con } i = 1, 2, \dots, n.$$

3.2 Formulación del Método de Tensor

El método de tensor para programación sin restricciones basa cada iteración sobre el modelo de cuarto orden de la función no lineal $f(x)$ dado por (3.2).

Las elecciones de T_c y V_c en (3.2) hacen que los términos $T_c \text{ } \text{ } d^3$ y $V_c \text{ } \text{ } d^4$ de tercer y cuarto orden respectivamente, tengan formas simples y muy útiles. Estos términos tensoriales son seleccionados de tal manera que el modelo de tensor interpola información de la función en el punto anterior x_{i-1} .

Las condiciones de interpolación en el punto anterior x_{i-1} están dados por

$$f(x_{i-1}) = f(x_c) + r f(x_c) \text{ } \text{ } s + \frac{1}{2} r^2 f(x_c) \text{ } \text{ } s^2 + \frac{1}{6} T_c \text{ } \text{ } s^3 + \frac{1}{24} V_c \text{ } \text{ } s^4, \quad (3.3)$$

y

$$r f(x_{i-1}) = r f(x_c) + r^2 f(x_c) \text{ } \text{ } s + \frac{1}{2} T_c \text{ } \text{ } s^2 + \frac{1}{6} V_c \text{ } \text{ } s^3, \quad (3.4)$$

donde

$$s = x_{i-1} - x_c.$$

Schnabel y Chow[1] eligieron T_c y V_c que satisfagan (3.3) y (3.4). Ellos primero mostraron que éstas condiciones determinan de manera única a $T_c \mathfrak{t} d^3$ y $V_c \mathfrak{t} d^4$. En efecto, multiplicando (3.4) por s tenemos

$$r f(x_{i+1}) \mathfrak{t} s = r f(x_c) \mathfrak{t} s + r^2 f(x_c) \mathfrak{t} s^2 + \frac{1}{2} T_c \mathfrak{t} s^3 + \frac{1}{6} V_c \mathfrak{t} s^4. \quad (3.5)$$

Sean $\alpha, \beta \geq 2$ tales que

$$\begin{aligned} \alpha &= T_c \mathfrak{t} d^3 \\ \beta &= V_c \mathfrak{t} d^4. \end{aligned}$$

De (3.3) y (3.5) ellos obtuvieron que

$$\begin{aligned} f(x_{i+1}) - f(x_c) - r f(x_c) \mathfrak{t} s - \frac{1}{2} r^2 f(x_c) \mathfrak{t} s^2 &= \frac{1}{6} \alpha + \frac{1}{24} \beta \\ r f(x_{i+1}) \mathfrak{t} s - r f(x_c) \mathfrak{t} s - r^2 f(x_c) \mathfrak{t} s^2 &= \frac{1}{2} \alpha + \frac{1}{6} \beta, \end{aligned}$$

de donde resulta el siguiente sistema de ecuaciones

$$q_1 = \frac{1}{6} \alpha + \frac{1}{24} \beta, \quad (3.6)$$

$$q_2 = \frac{1}{2} \alpha + \frac{1}{6} \beta, \quad (3.7)$$

con q_1 y $q_2 \geq 2$ dados por

$$\begin{aligned} q_1 &= f(x_{i+1}) - f(x_c) - r f(x_c) \mathfrak{t} s - \frac{1}{2} r^2 f(x_c) \mathfrak{t} s^2. \\ q_2 &= r f(x_{i+1}) \mathfrak{t} s - r f(x_c) \mathfrak{t} s - r^2 f(x_c) \mathfrak{t} s^2. \end{aligned}$$

El sistema (3.6) - (3.7) es no singular; y por tanto los valores de α y β están determinados de manera única. Luego, las condiciones de interpolación determinan de manera única a $T_c \mathfrak{t} d^3$ y $V_c \mathfrak{t} d^4$. Como solo estas son las condiciones de interpolación, T_c y V_c no están suicientemente determinadas.

Schnabel y Chow[1] eligieron T_c y V_c primeramente seleccionando la más pequeña V_c simétrica en la norma de Frobenius para la cual

$$V_c \mathfrak{t} d^4 = \beta,$$

donde β está determinada por (3.6) - (3.7). Luego ellos sustituyeron este valor de V_c en (3.4), obteniendo

$$r f(x_{i+1}) - r f(x_c) - r^2 f(x_c) \mathfrak{t} s - \frac{1}{6} V_c \mathfrak{t} s^3 = \frac{1}{2} T_c \mathfrak{t} s^2,$$

de donde

$$T_c \mathring{\mathcal{I}} s^2 = a, \quad (3.8)$$

con

$$a = 2 \sum_{i=1}^n r f(x_i) \sum_{i=1}^n r f(x_c) \sum_{i=1}^n r^2 f(x_c) \mathring{\mathcal{I}} s_i \frac{1}{6} V_c \mathring{\mathcal{I}} s^3. \quad (3.9)$$

Este es un conjunto de n ecuaciones con n^3 incógnitas $T_c(i, j, k)$, $1 \leq i, j, k \leq n$. Para ser más precisos, Schnabel y Chow[1] eligieron las más pequeñas T_c y V_c en la norma de Frobenius, tales que satisfagan las ecuaciones (3.8) - (3.9). Esto es,

$$\begin{aligned} \min_{V_c \in \mathbb{R}^{n \times n \times n \times n}} \|V_c\|_F \\ \text{s.a. } V_c \mathring{\mathcal{I}} s^4 = \beta, \text{ y } V_c \text{ simétrica,} \end{aligned} \quad (3.10)$$

y

$$\begin{aligned} \min_{T_c \in \mathbb{R}^{n \times n \times n}} \|T_c\|_F \\ \text{s.a. } T_c \mathring{\mathcal{I}} s^3 = a, \text{ y } T_c \text{ simétrica.} \end{aligned} \quad (3.11)$$

La solución a (3.10) es

$$V_c = \gamma (s - s - s - s), \quad \gamma = \frac{\beta}{(s^T s)^4},$$

donde el tensor $V_c = \gamma (s - s - s - s) \in \mathbb{R}^{n \times n \times n \times n}$ es llamado tensor de cuarto orden rango uno para el cual, $V_c(i, j, k, l) = \gamma s(i) s(j) s(k) s(l)$, $1 \leq i, j, k, l \leq n$. Se usa la notación $-$ para ser consistentes con [1].

En efecto, por definición

$$V_c \mathring{\mathcal{I}} s s s s = \sum_{i=1}^n \sum_{j=1}^n \sum_{k=1}^n \sum_{l=1}^n V(i, j, k, l) s(i) s(j) s(k) s(l),$$

sustituyendo $V_c = \gamma (s - s - s - s)$ se tiene que

$$\begin{aligned}
 V_c \text{ } \text{ } \text{ } \text{ } &= \sum_{i=1}^n \sum_{j=1}^n \sum_{k=1}^n \sum_{l=1}^n [\gamma (s(i) s(j) s(k) s(l)) s(i) s(j) s(k) s(l)] \\
 &= \gamma \sum_{i=1}^n \sum_{j=1}^n \sum_{k=1}^n \sum_{l=1}^n s(i)^2 s(j)^2 s(k)^2 s(l)^2 \\
 &= \gamma \sum_{i=1}^n s(i)^2 \sum_{j=1}^n s(j)^2 \sum_{k=1}^n s(k)^2 \sum_{l=1}^n s(l)^2, \text{ como } \gamma = \frac{\beta}{(s^T s)^4} \\
 &= \frac{\beta}{(s^T s)^4} \mathbf{i}^T s s^T s^T s \mathbf{i}.
 \end{aligned}$$

) $V_c \text{ } \text{ } \text{ } \text{ } = \beta.$

La solución a (3.11) es

$$T_c = b - s - s + s - b - s + s - s - b, \tag{3.12}$$

donde la notación $T = u - v - w$, $u, v, w \in \mathbb{R}^n$, $T \in \mathbb{R}^{n \times n \times n}$, es llamado un tensor de tercer orden rango uno para el cual $T(i, j, k) = u(i)v(j)w(k)$. Aquí $b \in \mathbb{R}^n$ es el único vector para el cual (3.12) satisface (3.8), y esta dado por

$$b = \frac{3a \mathbf{i}^T s s^T \mathbf{i} + 2s \mathbf{i}^T a}{3(s^T s)^3}.$$

En efecto, por definición

$$\begin{aligned}
 (T \text{ } \text{ } \text{ } \text{ })(i) &= \sum_{j=1}^n \sum_{k=1}^n T(i, j, k) s(j) s(k) \\
 &= \sum_{j=1}^n \sum_{k=1}^n [b(i) s(j) s(k) + s(i) b(j) s(k) + s(i) s(j) b(k)] s(j) s(k) \\
 &= \sum_{j=1}^n \sum_{k=1}^n b(i) s(j)^2 s(k)^2 + s(i) b(j) s(j) s(k)^2 + s(i) s(j)^2 b(k) s(k) \\
 &= \sum_{j=1}^n b(i) s(j)^2 \sum_{k=1}^n s(k)^2 + s(i) b(j) s(j) \sum_{k=1}^n s(k)^2 + s(i) s(j)^2 \sum_{k=1}^n b(k) s(k) \\
 &= \sum_{j=1}^n b(i) s(j)^2 \mathbf{i}^T s s^T \mathbf{i} + s(i) b(j) s(j) \mathbf{i}^T s s^T \mathbf{i} + s(i) s(j)^2 \mathbf{i}^T b^T s \mathbf{i} \\
 &= b(i) \mathbf{i}^T s s^T s^T s \mathbf{i} + s(i) \mathbf{i}^T s s^T s^T b(j) s(j) + s(i) \mathbf{i}^T b^T s^T s^T s(j)^2 \\
 &= b(i) \mathbf{i}^T s s^T \mathbf{i} + 2s(i) \mathbf{i}^T s s^T \mathbf{i} b^T s \mathbf{i}, \text{ sustituyendo } b = \frac{3a \mathbf{i}^T s s^T \mathbf{i} + 2s \mathbf{i}^T a}{3(s^T s)^3}
 \end{aligned}$$

$$\begin{aligned}
&= \frac{3a(i)(s^T s)_i 2s(i)(s^T a)}{3(s^T s)^3} \mathbf{i}_{s^T s} \mathbf{c}_2 + 2s(i) \mathbf{i}_{s^T s} \mathbf{c} \mathbf{x} \mathbf{\mu} \frac{3a(i)(s^T s)_i 2s(i)(s^T a)}{3(s^T s)^3} \mathbf{\eta}_{s(i)} \\
&= \frac{3a(i)(s^T s)_i 2s(i)(s^T a)}{3(s^T s)} + \mathbf{i}_{2s(i)} \mathbf{i}_{s^T s} \mathbf{c} \mathbf{c} \mathbf{\mu} \frac{3(s^T s)(s^T a)_i 2(s^T a)(s^T s)}{3(s^T s)^3} \mathbf{\eta} \\
&= \frac{3a(i)(s^T s)_i 2s(i)(s^T a)}{3(s^T s)} + 2s(i) \mathbf{i}_{s^T s} \mathbf{c} \mathbf{\mu} \frac{(s^T s)(s^T a)}{3(s^T s)^3} \mathbf{\eta} \\
&= \frac{3a(i)(s^T s)_i 2s(i)(s^T a)}{3(s^T s)} + \frac{2s(i)(s^T a)}{3(s^T s)} = \frac{3a(i)(s^T s)}{3(s^T s)}.
\end{aligned}$$

$$) \quad (T \mathbf{c} s s)(i) = a(i).$$

3.3 Método de Tensor para Matriz Hessiana no Singular

En esta sección se muestra cómo encontrar e...cientemente un minimizador del modelo de tensor (3.2) cuando la matriz hessiana es no singular.

Las sustituciones en (3.2) de los valores de T_c y V_c encontrados en el apartado anterior dan como resultado:

$$M_T(x_c + d) = f(x_c) + \mathbf{r} f(x_c) \mathbf{c} d + \frac{1}{2} \mathbf{r}^2 f(x_c) \mathbf{c} d^2 + \frac{1}{2} \mathbf{i}_{b^T d} \mathbf{c} \mathbf{i}_{s^T d} \mathbf{c}_2 + \frac{\gamma}{24} \mathbf{i}_{s^T d} \mathbf{c}_4. \quad (3.13)$$

Ahora se mostrará que el minimizador de (3.13) puede ser reducido a la solución de un polinomio de tercer grado con una incógnita. Para ser más concisos se usará la notación $g = \mathbf{r} f(x_c)$ y $H = \mathbf{r}^2 f(x_c)$.

Una condición necesaria para que d sea un minimizador local de (3.13) es que la derivada del modelo de tensor con respecto a d sea cero (ver CNPO). Esto es,

$$\mathbf{r} M_T(x_c + d) = g + Hd + \mathbf{i}_{b^T d} \mathbf{c} \mathbf{i}_{s^T d} \mathbf{c}_s + \frac{1}{2} \mathbf{i}_{s^T d} \mathbf{c}_2 b + \frac{\gamma}{6} \mathbf{i}_{s^T d} \mathbf{c}_3 s = 0,$$

despejando d de la ecuación anterior tenemos que,

$$d = \mathbf{i}_{H^{-1}} \mathbf{\mu} g + \mathbf{i}_{b^T d} \mathbf{c} \mathbf{i}_{s^T d} \mathbf{c}_s + \frac{1}{2} \mathbf{i}_{s^T d} \mathbf{c}_2 b + \frac{\gamma}{6} \mathbf{i}_{s^T d} \mathbf{c}_3 s. \quad (3.14)$$

Si primero se premultiplica la ecuación 3.14 por s^T en ambos lados, se tiene una ecuación cúbica en las incógnitas $\beta = \mathbf{i}_{s^T d}$ y $\theta = \mathbf{i}_{b^T d}$, esto es,

3.3. MÉTODO DE TENSOR PARA MATRIZ HESSIANA NO SINGULAR 19

$$\begin{aligned}
 s^T d &= i s^T H^{-1} g + i b^T d^c i s^T d^c s + \frac{1}{2} i s^T d^c_2 b + \frac{\gamma}{6} i s^T d^c_3 s . \\
 \beta &= i s^T H^{-1} g + \theta \beta s + \frac{1}{2} \beta^2 b + \frac{\gamma}{6} \beta^3 s . \\
 0 &= s^T H^{-1} g + \beta + s^T H^{-1} s \theta \beta + \frac{1}{2} s^T H^{-1} b \beta^2 + \frac{\gamma}{6} s^T H^{-1} s \beta^3 . \quad (3.15)
 \end{aligned}$$

Si se premultiplica la ecuación (3.14) por b^T en ambos lados, se obtiene una ecuación cúbica en las incógnitas β y θ , esto es,

$$\begin{aligned}
 b^T d &= i b^T H^{-1} g + i b^T d^c i s^T d^c s + \frac{1}{2} i s^T d^c_2 b + \frac{\gamma}{6} i s^T d^c_3 s . \\
 \theta &= i b^T H^{-1} g + \theta \beta s + \frac{1}{2} \beta^2 b + \frac{\gamma}{6} \beta^3 s . \\
 0 &= b^T H^{-1} g + \theta + b^T H^{-1} s \theta \beta + \frac{1}{2} b^T H^{-1} b \beta^2 + \frac{\gamma}{6} b^T H^{-1} s \beta^3 . \quad (3.16)
 \end{aligned}$$

Luego, de las ecuaciones (3.15) y (3.16) se consigue un sistema de dos ecuaciones cúbicas en dos incógnitas β y θ , las cuales pueden ser resueltas analíticamente.

Ahora se mostrará como calcular las soluciones del sistema de dos ecuaciones con dos incógnitas, calculando las soluciones de una sola ecuación cúbica en una incógnita β .

Sean $u = s^T H^{-1} g, v = s^T H^{-1} b, w = s^T H^{-1} s, y = b^T H^{-1} g, z = b^T H^{-1} b$. Primero se calcula el valor de θ como una función de β usando la ecuación (3.15):

$$\begin{aligned}
 0 &= s^T H^{-1} g + \beta + s^T H^{-1} s \theta \beta + \frac{1}{2} s^T H^{-1} b \beta^2 + \frac{\gamma}{6} s^T H^{-1} s \beta^3 . \\
 0 &= u + \beta + w \theta \beta + \frac{1}{2} v \beta^2 + \frac{\gamma}{6} w \beta^3 . \\
 \theta &= i \frac{u + \beta + \frac{1}{2} v \beta^2 + \frac{\gamma}{6} w \beta^3}{w \beta} . \quad (3.17)
 \end{aligned}$$

Hay que notar que el denominador de (3.17) es igual a cero, cuando $\beta = 0$ o $w = 0$. Se asumirá que $\beta \neq 0$; de lo contrario el modelo de tensor se reduce al modelo de Newton (ver ecuación (3.14)). Ahora, si $w = 0$, entonces (3.15) es una ecuación cuadrática en β :

$$0 = u + \beta + \frac{1}{2} v \beta^2,$$

y por tanto

$$\beta = \frac{-1 \pm \sqrt{1 + 2uv}}{v},$$

y en caso de que $v = 0$ en la ecuación anterior, tomamos $\beta = u$.

Los minimizadores con valores reales del modelo 3.13 existen solo si $1 + 2uv \geq 0$. Es fácil probar que para que los valores de θ estén bien definidos, $1 + u\beta$ no debe ser cero.

Si $\beta \neq 0$ y $w \neq 0$, sustituimos θ dada por (3.17) en la ecuación (3.16), y obtenemos que

$$\begin{aligned} 0 &= b^T H^{-1} g + \theta + b^T H^{-1} s \theta \beta + \frac{1}{2} b^T H^{-1} b \beta^2 + \frac{\gamma}{6} b^T H^{-1} s \beta^3. \\ 0 &= y_i \frac{u + \beta + \frac{1}{2} v \beta^2 + \frac{\gamma}{6} w \beta^3}{w \beta} + v_i \frac{u + \beta + \frac{1}{2} v \beta^2 + \frac{\gamma}{6} w \beta^3}{w \beta} \beta \\ &\quad + \frac{1}{2} z \beta^2 + \frac{\gamma}{6} v \beta^3. \\ 0 \leq w \beta &= y w \beta_i u_i \beta_i + \frac{1}{2} v \beta^2_i + \frac{\gamma}{6} w \beta^3_i + u v \beta_i v \beta^2_i + \frac{1}{2} v^2 \beta^3_i + \frac{\gamma}{6} v w \beta^4_i \\ &\quad + \frac{1}{2} z w \beta^3_i + \frac{\gamma}{6} v w \beta^4_i, \end{aligned}$$

y agrupando términos se concluye que

$$y_i u + (y w_i + u v_i) \beta_i + \frac{3}{2} u \beta^2_i + \frac{1}{2} w z_i + \frac{\gamma}{6} w_i + \frac{1}{2} v^2_i \beta^3_i = 0, \quad (3.18)$$

el cual es un polinomio de tercer grado con una incógnita, β . Las raíces de (3.18) son calculadas analíticamente. Se sustituyen los valores de β en (3.17) para calcular los valores de θ . El mayor costo de todo este proceso es el cálculo de $H^{-1} g$, $H^{-1} b$, $H^{-1} s$.

3.4 Algoritmo del Método de Tensor

A continuación se presenta el algoritmo de tensor para programación sin restricciones. La implementación sólo se hizo para el caso en que la matriz hessiana es no singular.

Algoritmo 3.3 (Método del tensor) Sean x_c el punto actual, x_+ el siguiente punto, x_i el punto anterior, d_t la dirección de tensor y d_n la dirección de Newton.

1. Evaluar $r f(x_c)$, si $\|r f(x_c)\| < tol$ parar, de lo contrario ir a 2.
2. Evaluar $r^2 f(x_c)$.
3. Calcular b y γ en el modelo de tensor (3.13), de tal manera que el modelo interpole $f(x)$ y $r f(x)$ en x_i .

4. Encontrar un minimizador potencial d_k del modelo de tensor, ecuación (3.13)

(a) Hacer $\beta_{\alpha} = \min(j\beta_j)$,

con β_i raíces de la ecuación $0 = \frac{1}{2}u + (yw_i - vw_i - 1)\beta_i$
 $\frac{3}{2}u\beta^2 + \frac{1}{2}wz_i - \frac{2}{6}w_i - \frac{1}{2}v^2\beta^3$.

(b) Hacer $\theta_{\alpha} = \frac{\frac{1}{2}u + \beta_{\alpha} + \frac{1}{2}v\beta_{\alpha}^2 + \frac{2}{6}w\beta_{\alpha}^3}{w\beta_{\alpha}}$.

(c) Hacer $d_t = \frac{1}{2}r^2 f(x_c) + \theta_{\alpha}\beta_{\alpha}s + \frac{1}{2}\beta_{\alpha}^2 b + \frac{2}{6}\beta_{\alpha}^3 s$.

5. Revisar si la dirección de tensor es una dirección de descenso,

Si $r^T f(x_c) d_t > 0$

hacer $d_n = \frac{1}{2}r^2 f(x_c) + \theta_{\alpha}\beta_{\alpha}s + \frac{1}{2}\beta_{\alpha}^2 b + \frac{2}{6}\beta_{\alpha}^3 s$.

6. Calcular el siguiente x_+ usando una búsqueda lineal.

7. $x_c = x_+$, $f(x_c) = f(x_+)$, ir al paso 1.

Capítulo 4

Algoritmos Instrumentados

Los métodos instrumentados fueron: máximo descenso, gradientes conjugados y método de tensor. Todos ellos requieren de una búsqueda lineal para el tamaño de paso en cada iteración, por lo que también se implementó un algoritmo de búsqueda lineal que satisficiera las condiciones fuertes de Wolfe.

4.1 Búsqueda Lineal

A continuación se presenta el algoritmo empleado para la implementación de la búsqueda lineal. Este algoritmo se utiliza en todos los métodos programados y es la clave para obtener buenos resultados a la hora de calcular el mínimo.

El algoritmo consta de dos partes, en la primera se comienza con un valor inicial y se empieza a iterar hasta que se encuentra un valor aceptable o un intervalo de acotación para el tamaño de paso. En la segunda parte (algoritmo **Zoom**) se decreta sucesivamente el tamaño del intervalo obtenido en el paso anterior, hasta que se encuentra un tamaño de paso aceptable. Este algoritmo está basado en el que proponen Nocedal y Wright[6].

Algoritmo 4.1 (Búsqueda lineal) Sean x_c la iteración actual, d la dirección de descenso, c_1 y c_2 los escalares en las condiciones fuertes de Wolfe (ver (2.17) y (2.18)).

1. Hacer $\alpha_0 \bar{\Delta} 0$, $\alpha_1 \bar{\Delta} 1$;
 $f_0 \bar{\Delta} f(x_c)$, $g_0 \bar{\Delta} \nabla f(x_c)$;
 $k \bar{\Delta} 1$;
2. $x_k \bar{\Delta} x_c + \alpha_k d$;
3. $f_k \bar{\Delta} f(x_k)$;
4. Si $f_k > f_0 + c_1 \alpha d^T g_0$ ó $[f_k - f_{k-1} \text{ y } k > 1]$
 $\alpha_k \bar{\Delta} \text{Zoom}(\alpha_{k-1}, \alpha_k)$ y detener.
de lo contrario continuar;

5. $g_k \tilde{A} r f(x_k)$;
6. Si $d^T g_k \cdot c_2 d^T g_0$
 $\alpha_k \tilde{A} \alpha_k$ parar.
7. Si $d^T g_k > 0$
 $\alpha_k \tilde{A} \text{zoom}(\alpha_{k-1}, \alpha_k)$ y detener.
 de lo contrario continuar;
8. $\alpha_{k+1} \tilde{A} \alpha_k$;
9. $\alpha_k \tilde{A} 2\alpha_k$;
10. $f_{k+1} \tilde{A} f_k$;
11. Hacer $k \tilde{A} k + 1$; ir a 2.

El algoritmo anterior usa el hecho de que el intervalo (α_{k-1}, α_k) contiene un tamaño de paso que cumple las condiciones fuertes de Wolfe si se satisface alguna de las siguientes tres condiciones:

- i) α_k no cumple la condición de suficiente decrecimiento.
- ii) $f_k > f_{k-1}$.
- iii) $d^T g_k > 0$.

Todas las llamadas al siguiente algoritmo tienen la forma $\text{Zoom}(\alpha_{lo}, \alpha_{hi})$, donde:

- a) El intervalo acotado por α_{lo} y α_{hi} , contiene tamaños de paso que satisfacen las condiciones fuertes de Wolfe.
- b) α_{lo} satisface la condición de suficiente decrecimiento y da el más pequeño valor en f .
- c) α_{hi} es elegida de tal manera que $d^T r f(x_c + \alpha_{lo}d) (\alpha_{hi} - \alpha_{lo}) \cdot 0$.

En cada iteración Zoom genera una iteración α_j entre α_{lo} y α_{hi} , que después reemplazará alguno de los extremos de tal manera que se sigan satisfaciendo los incisos anteriores.

Algoritmo 4.2 (Zoom) Sea $(\alpha_{lo}, \alpha_{hi})$ un intervalo que contiene tamaños de paso que satisfacen las condiciones fuertes de Wolfe (2.17)-(2.18).

1. Interpolar (Usando bisección ó función cuadrática) para encontrar el tamaño de paso α_j entre α_{lo} y α_{hi} ;
2. $x_j \tilde{A} x_c + \alpha_j d$;
3. $f_j \tilde{A} f(x_j)$;

4. Si (4a) $f_j > f_0 + c_1 \alpha_j d^T g_0$ ó $f_j > f(x_c + \alpha_{lo} d)$

Hacer $\alpha_{hi} \bar{A} \alpha_j$;

En caso contrario;

Hacer $g_j \bar{A} r f(x_j)$;

Si $d^T g_j \cdot c_2 d^T g_0$

Hacer $\alpha_{hi} \bar{A} \alpha_j$ y detener.

Fin(si);

Si $d^T g_j (\alpha_{hi} \bar{A} \alpha_{lo}) > 0$

Hacer $\alpha_{hi} \bar{A} \alpha_{lo}$;

Fin(si);

Hacer $\alpha_{lo} \bar{A} \alpha_j$;

Fin(si 4a);

5. Hacer $j \bar{A} j + 1$; ir a 1.

4.2 Máximo Descenso

El algoritmo de máximo descenso es uno de los más sencillos de implementar y por eso es uno de los más usados cuando las funciones son más o menos bien comportadas, aunque tiene convergencia lenta comparada con otros métodos. El algoritmo instrumentado es el siguiente

Algoritmo 4.3 (Máximo descenso) Sea x_0 el punto inicial

1. $k \bar{A} 0$;

2. $d_k \bar{A} r f(x_k)$;

3. Si $\|d_k\|_2 < tol$

detener.

Fin(si);

4. Hacer una búsqueda lineal para encontrar el α_k apropiado;

5. $x_{k+1} \bar{A} x_k + \alpha_k d_k$;

6. Hacer $k \bar{A} k + 1$; ir a 2.

4.3 Gradientes Conjugados

Como se mencionó en el capítulo 2, uno de los algoritmos más usados es el de gradientes conjugados, ya que no es necesario calcular la hessiana de la función y es uno de los más eficientes. El algoritmo instrumentado para el método de gradientes conjugados es el siguiente:

Algoritmo 4.4 (Gradientes conjugados) Sea x_0 el punto inicial

1. $k \leftarrow 0$;
2. $g_0 \leftarrow \nabla f(x_0)$;
3. Si $\|g_0\|_2 < tol$
Detener.
En caso contrario
 $d_0 \leftarrow -g_0$;
Fin(si);
4. Hacer una búsqueda lineal para encontrar el α_k apropiado;
5. $x_{k+1} \leftarrow x_k + \alpha_k d_k$;
6. $g_{k+1} \leftarrow \nabla f(x_{k+1})$;
7. Si $\|g_{k+1}\|_2 < tol$
Detener.
Fin(si);
8. Seleccionar el β_k ;
9. $d_{k+1} \leftarrow -g_{k+1} + \beta_k d_k$;
10. Hacer $k \leftarrow k + 1$; ir a 3.

El número β_k en el paso 8 puede ser el de Fletcher-Reeves(2.2), Hestenes-Stiefel(2.10) o el de Polak-Ribiere(2.8). Ya que se tiene el mismo algoritmo para cualquier método de gradientes conjugados excepto por el paso 8, es innecesario escribir todos los algoritmos. Así, dependiendo de β_k será como se llame el algoritmo.

4.4 Método de Tensor

A continuación se presenta el algoritmo de tensor para programación sin restricciones. La implementación sólo se hizo para el caso en que la matriz hessiana es no singular.

Algoritmo 4.5 (Método del tensor) Sea x_c el punto actual, x_+ el siguiente punto, x_i el punto anterior, d_t la dirección de tensor y d_n la dirección de Newton.

1. Evaluar $r f(x_c)$,
2. Si $\|r f(x_c)\| < tol$
Parar.
Fin(si);
3. Evaluar $r^2 f(x_c)$ y aplicarle factorización de Cholesky para matrices ralas;
4. Calcular b y γ en el modelo de tensor (3.13), de tal manera que el modelo interpole $f(x)$ y $r f(x)$ en x_i ;
5. Encontrar un minimizador potencial d_k del modelo de tensor, ecuación(3.13)
 - (a) Hacer $\beta_n = \min(\beta_j)$;
con β_i raíces de la ecuación $0 = u + (y w_i - u w_i - 1) \beta_i - \frac{3}{2} u \beta_i^2 + \frac{1}{2} w z_i - \frac{2}{6} w_i - \frac{1}{2} v^2 \beta_i^3$ (3.18);
 - (b) Hacer $d_t = \tilde{A}^{-1} r^2 f(x_c) + \theta_n \beta_n s + \frac{1}{2} \beta_n^2 b + \frac{\gamma}{6} \beta_n^3 s$ con
 - (c) $\theta_n = \frac{(u + \beta_n + \frac{1}{2} v \beta_n^2 + \frac{2}{6} w \beta_n^3)}{w \beta_n}$;
6. Ver si la dirección de tensor es una dirección de descenso
 - (a) Si $r^T f(x_c) d_t > 0$
 $d_n = \tilde{A}^{-1} H^{-1} r^T f(x_c)$;
Fin(si);
7. Calcular el siguiente $x_+ = x_c + \alpha d$ usando una búsqueda lineal, con $d = d_t$ o $d = d_n$;
8. $x_c \tilde{A} x_+, f(x_c) \tilde{A} f(x_+)$, ir al paso 1.

El procedimiento para calcular b y γ en el paso 3 se discutió en la sección 3.2. En el paso 3, a la matriz hessiana H se le aplica una descomposición de Cholesky de tal manera que siga siendo definida positiva y simétrica, y así proceder a aplicar la dirección de Newton. El algoritmo utilizado es el que viene incluido en MATLAB.

El algoritmo de Cholesky factoriza una matriz simétrica A casi definida positiva en una matriz triangular L de tal manera que $LL^T \approx A$, y LL^T es definida positiva. Si la matriz ya es definida positiva el algoritmo de Cholesky no la afecta.

Capítulo 5

Software y Pruebas Realizadas

Este capítulo está dedicado al software creado para comparar los métodos antes descritos y los problemas prueba que en él se implementaron. Recordar que el método de tensor es un método que trata de obtener mejores resultados que los otros métodos y está diseñado para funciones con hessiana ralas, esto es, que tienen muchos ceros. Se muestran pruebas de dimensión $n = 2$, $n = 4$, $n = 5000$ y los resultados obtenidos.

5.1 OPTIMIN

Se creó el programa OPTIMIN para resolver el problema de programación no lineal sin restricciones:

$$\min_{x \in \mathbb{R}^n} f(x) \quad \text{s.t.} \quad x \in \mathcal{C},$$

donde al menos $f \in C^2$ con gradiente y hessiana analíticos.

Todas las pruebas se realizaron en OPTIMIN, en el cual se implementan los métodos de máximo descenso, gradientes conjugados (Hestenes-Stiefel, Polak-Ribiere y Fletcher-Reeves) y el método de tensor, descritos en este trabajo. Todos los algoritmos instrumentados requieren de gradiente y hessiana analíticos.

Toda la implementación de OPTIMIN se desarrolló en el siguiente software:

software: MATLAB¹
versión: 6.1.0.450

La instrumentación de OPTIMIN se realizó en una computadora HP Notebook con las siguientes características:

sistema operativo: Microsoft Windows XP Home edition versión 2002;
procesador: mobil AMD athlon(tm) 4;

¹ MATrix LABoratory, por sus siglas en Ingles.

velocidad: 950 Mhz;
 disco duro: 19 GB;
 Ram: 256 MB en Memoria Ram.

La creación de OPTIMIN tiene como objetivo comparar los métodos descritos en este trabajo mediante problemas pruebas preestablecidos. Tiene la característica de graficar el comportamiento de los métodos para dar una comparación visual de los mismos, lo cual lo hace una herramienta buena para dar resultados inmediatos. Si lo que se desea es mostrar resultados más precisos de funciones prueba, el software cuenta con la opción de salvar los resultados del método empleado. Dichos resultados son: nombre de la función, número de variables, punto inicial, método empleado, evaluación inicial de f , número de evaluaciones de la función y del gradiente, tiempo utilizado y el número de iteraciones.

OPTIMIN cuenta con una interfaz gráfica amigable que permite al usuario trabajar comodamente en problemas de programación sin restricciones, se recomienda ver el manual de usuario del siguiente capítulo para una mayor comprensión del software.

5.2 Pruebas

A continuación se muestran los resultados obtenidos al implementar tres problemas prueba en el software antes descrito.

En la primer y tercer prueba se utilizaron problemas del libro de Dennis y Schnabel[4, pags 361-363], son problemas prueba para algoritmos y programas de programación sin restricciones. La función en la segunda prueba pertenece a los problemas prueba del CUTE[7], y esta creado para probar la eficiencia de los algoritmos de programación sin restricciones.

Las columnas de las tablas 5.1 - 5.3 tienen el siguiente significado:

Método : nombre del método instrumentado.
 $f(x)$ inicial : valor inicial de la función objetivo.
 $f(x)$ final : valor final de la función objetivo.
 nf : número de evaluaciones de la función.
 ng : número de evaluaciones del gradiente.
 iter: número de iteraciones.
 Tiempo : tiempo realizado por el algoritmo, medido en segundos.

5.2.1 Función de Rosenbrock

La primera prueba se realizó con la función de Rosenbrock, cuya ecuación es la siguiente:

$$f(x) = 100(x_2 - x_1^2)^2 + (1 - x_1)^2, \quad (5.1)$$

esta función tiene como minimizador a $x = (1, 1)$, ya que $r f(1, 1) = 0$ y $r^2 f(1, 1) > 0$ y se satisface el teorema 1.9.

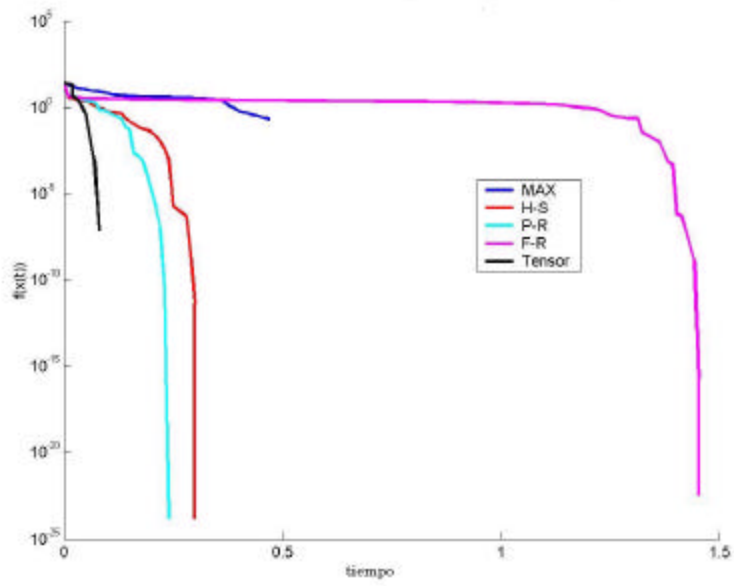


Figura 5.1: Comportamiento gráfico de los métodos para la función de Rosenbrock.

Método	$f(x)$ inicial	nf	ng	$iter$	Tiempo	$f(x)$ final
MAX	24.2	609	338	200	0.47	0.2056
H-S	24.2	426	307	32	0.30	$1.465 \times 10^{i 24}$
P-R	24.2	322	237	30	0.24	$1.495 \times 10^{i 24}$
F-R	24.2	1906	1333	79	1.452	$3.408 \times 10^{i 23}$
Tensor	24.2	89	68	15	0.16	0

Tabla 5.1: Resultados de los métodos implementados a la función de Rosenbrock

En la figura 5.1 se graficó el comportamiento de cada uno de los métodos, aplicados a la función de Rosenbrock, con respecto al tiempo de ejecución de los mismos. Se puede observar que el método de tensor obtuvo mejores resultados con respecto a los otros métodos, y se ve claramente que todos los métodos convergen al mínimo, excepto el método de máximo descenso ya que es el más lento de todos ellos y requiere de más iteraciones para alcanzar el mínimo.

Todos los métodos utilizan como punto inicial $x_0 = (1.2, 1)$, un número máximo de iteraciones de 200 y como criterio de parada que $\|f(x_k)\| < 10^{i 10}$. Los datos obtenidos por cada uno de los métodos se muestran en la tabla 5.1.

5.2.2 Función de Rosenbrock Extendida

La segunda prueba se realizó con la función de Rosenbrock extendida de dimensión $n = 5000$ que está definida como sigue:

$$n = 2k, k \in \mathbb{Z}^+$$

$$\text{Para } i = 1 : \frac{n}{2}$$

$$f_{2i-1}(x) = 10 \left(x_{2i} - x_{2i-1}^2 \right)^2$$

$$f_{2i}(x) = \left(x_{2i-1} - 1 \right)^2$$

Fin(para).

$$f(x) = \sum_{i=1}^{\frac{n}{2}} f_i(x)^2$$

Esta función tiene como minimizador a $x^* = (1, 1, \dots, 1)$. Esta prueba se desarrolló con este tipo de función debido a que se quiere mostrar la eficiencia del método cuando la dimensión es grande y la hessiana es mala².

En la figura 5.2 se muestra el comportamiento de los métodos aplicados a esta función. Es claro que el método que obtuvo mejores resultados es el del tensor con un tiempo de 120.453 segundos, siguiendo el de Polak-Ribiere con un tiempo de 255.328 segundos. El método de tensor es el único que alcanza el minimizador $x^* = (1, 1, \dots, 1)$. Aunque el método de Hestenes-Stiefel obtuvo buenos resultados, su tiempo de 1245.2 segundos le resta eficiencia.

Todos los métodos utilizan como punto inicial $x_0 = 100 \left(1.2, 1, \dots, 1.2, 1 \right)$, un número máximo de iteraciones de 200 y criterio de parada $\|f(x_k)\| <$

²Sparse en inglés.

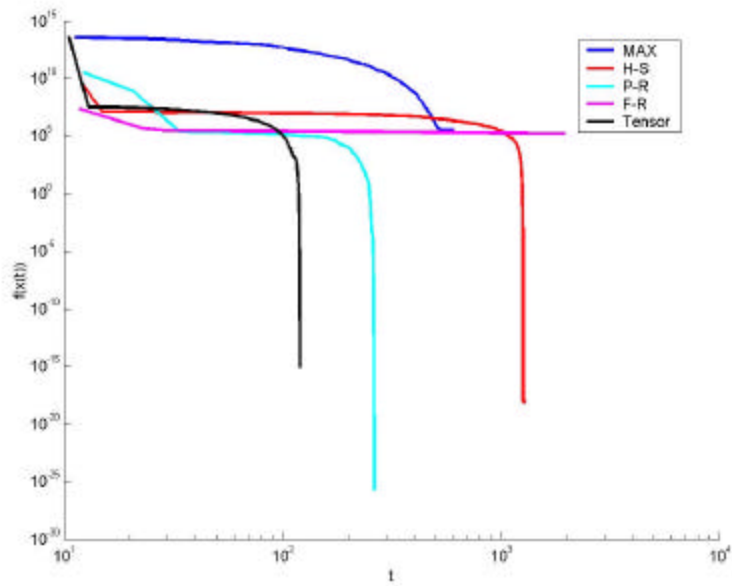


Figura 5.2: Gráfica del comportamiento de los métodos aplicados a la función de Rosenbrock extendida de dimensión $n = 5000$.

Método	$f(x)$ inicial	nf	ng	iter	Tiempo	$f(x)$ final
MAX	$5.1123 \text{ E } 10^{13}$	3314	2112	200	572.7030	305579
H-S	$5.1123 \text{ E } 10^{13}$	7069	4668	187	1245.2	0
P-R	$5.1123 \text{ E } 10^{13}$	1454	1021	68	255.328	$1.837 \text{ E } 10^i \text{ }^{26}$
F-R	$5.1123 \text{ E } 10^{13}$	10756	7324	200	1858.4	164527
Tensor	$5.1123 \text{ E } 10^{13}$	633	566	147	120.453	0

Tabla 5.2: Resultados de los métodos aplicados a la función de Rosenbrock extendida con $n=5000$.

Método	$f(x)$ inicial	nf	ng	iter	Tiempo	$f(x)$ final
MAX	$1.9192 \text{ E } 10^4$	1064	651	200	0.8110	7.877
H-S	$1.9192 \text{ E } 10^4$	1647	1201	142	1.2320	$1.247 \text{ E } 10^i \text{ }^{23}$
P-R	$1.9192 \text{ E } 10^4$	1582	1187	178	1.2210	$3.598 \text{ E } 10^i \text{ }^{22}$
F-R	$1.9192 \text{ E } 10^4$	6363	4391	200	4.2860	11.3671
Tensor	$1.9192 \text{ E } 10^4$	202	154	29	0.3210	0

Tabla 5.3: Resultados de los métodos aplicados a la función wood

10^i ^{10} . Los datos obtenidos por cada uno de los métodos se muestran en la tabla 5.2.

5.2.3 Función Wood

Esta tercer prueba se realizó con la función wood, tomada del libro de Dennis y Schnabel[4, pag 363], dada por

$$f(x) = 100 \left(x_3^2 - x_2 \right)^2 + (1 - x_1)^2 + 90 \left(x_3^2 - x_4 \right)^2 + (1 - x_3)^2 + 10.1 \left(1 - x_2 \right)^2 + (1 - x_4)^2 + 19.8 \left(1 - x_2 \right) \left(1 - x_4 \right),$$

con punto inicial $x_0 = (1, 3, 1, 3, 1)$ y minimizador $x^* = (1, 1, 1, 1)$.

La figura 5.3 muestra que el método de tensor es el que converge más rápido al mínimo. El método de tensor es el único que alcanza a $x^* = (1, 1, 1, 1)$. Todos los métodos utilizan como punto inicial $x_0 = (1, 3, 1, 3, 1)$, un número máximo de iteraciones de 200 y como criterio de parada que $\|f(x_k)\| < 10^i \text{ }^{10}$. Los datos obtenidos por cada uno de los métodos se muestran en la tabla 5.3.

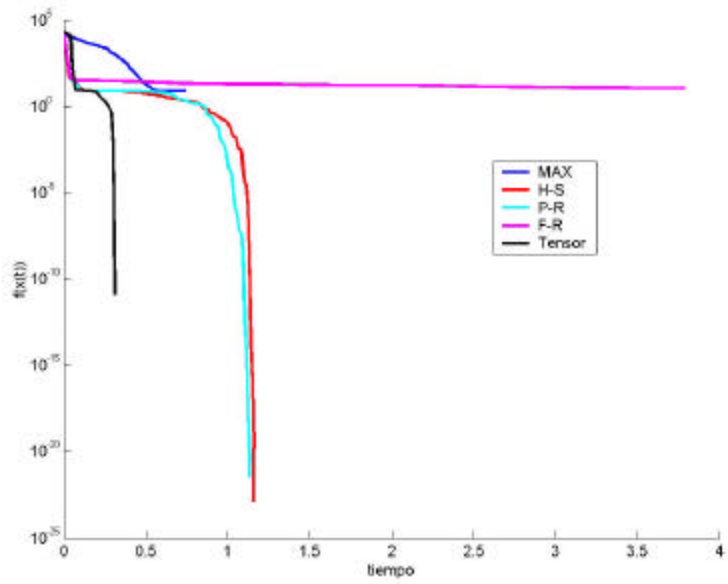


Figura 5.3: Gráfica de los métodos aplicados a la función wood.

Capítulo 6

Conclusiones

Para mostrar la eficiencia de los métodos programados se utilizaron dos tipos de problemas prueba, cuyos resultados se mostraron en el capítulo anterior. Estos tipos de problemas fueron seleccionados debido a que:

- (a) Tienen matriz hessiana no singular en el minimizador.
- (b) Son problemas diseñados para probar algoritmos.
- (c) Uno de ellos tiene matriz rala, cuando la dimensión es grande.

Para medir la eficiencia de los métodos, se utilizaron los siguientes parámetros:

1. Número de evaluaciones de la función.
2. Número de evaluaciones del gradiente.
3. Tiempo realizado por el algoritmo.

Aunque en las tablas del capítulo anterior se muestra el número de iteraciones que realizan los algoritmos, estos no se utilizaron como medida de convergencia dado que el número de iteraciones es independiente de la convergencia del algoritmo, como se pudo comprobar en la función Rosenbrock extendida, en la que el método de tensor realiza 147 iteraciones mientras que el de Polak-Ribiere 68, pero el tiempo que realiza el método de tensor es de 120.453 segundos contra 255.328 segundos del de Polak-Ribiere.

<i>Método</i>	<i>nf total</i>	<i>ng total</i>	<i>Tiempo total (seg)</i>
H-S	9142	6176	1246.732
P-R	3358	2445	256.789
Tensor	924	788	120.934

Tabla 6.1: Resultados totales de los métodos

La tabla 6.1 muestra los resultados totales de los métodos aplicados a los problemas prueba del capítulo anterior. Aquí se muestran el número de evaluaciones totales de la función (nf_{total}), del gradiente (ng_{total}) y el tiempo total empleado en resolver los problemas prueba. Sólo se muestran los métodos que mejores resultados obtuvieron.

De la tabla 6.1 se concluye que:

- z En los problemas prueba realizados, el método de tensor es el que menos tiempo utiliza.
- z El método de tensor tiene menor número de evaluaciones del gradiente y de la función.
- z El segundo mejor método es el de Polak-Ribiere, como se había mencionado en el capítulo 3.
- z El método de tensor es el que más cerca está del mínimo de las funciones prueba instrumentadas, según las tablas 5.1 - 5.3.
- z El método de tensor funciona para problemas de gran dimensión ($n = 5000$).

Algunas de las características del software **OPTIMIN** son:

- .. Funciona únicamente con gradiente y hessiana analítico.
- .. Permite escribir nuevos problemas en un formato preestablecido (ver manual de usuario).
- .. Salva los resultados de los métodos en archivos que se pueden manipular.

Capítulo 7

Manual de Usuario

En este capítulo se explica cómo operar **OPTIMIN**, el funcionamiento de cada una de las partes de las que está compuesto y el tipo de formato de entrada. Al final se muestra un ejemplo para aclarar bien su uso.

OPTIMIN resuelve problemas de la forma

$$\min_{x \in \mathbb{R}^n} f(x) \quad (7.1)$$

donde f es al menos dos veces continuamente diferenciable. Utiliza gradiente y hessiana analíticos.

La implementación del programa **OPTIMIN** se realizó en MATLAB 6.1.0.450 y los requerimientos mínimos del programa son:

- F** Procesador Pentium.
- F** Microsoft Windows 95.
- F** Unidad de CD-ROM (para instalar el programa **OPTIMIN**).
- F** 64 MB en RAM mínimo, 128 MB RAM recomendable.

NOTA: Debido a que el programa **OPTIMIN** cuenta con interfaz gráfica, este no puede trabajar con versiones anteriores a MATLAB 6.1.0.450.

Otros requerimientos recomendables son:

- F** Microsoft Word 7.0 (Office 95), o versiones más recientes. Esto es necesario para correr MATLAB Notebook.
- F** Espacio disponible para guardar datos al correr **OPTIMIN**.

Se puede trabajar con **OPTIMIN** de dos maneras:

- | Desde el CD, para trabajar con los problemas prueba que ya tiene instalados.
- | En la PC (para esto se requiere copiar la carpeta **optimizacion** del CD de instalación del programa).

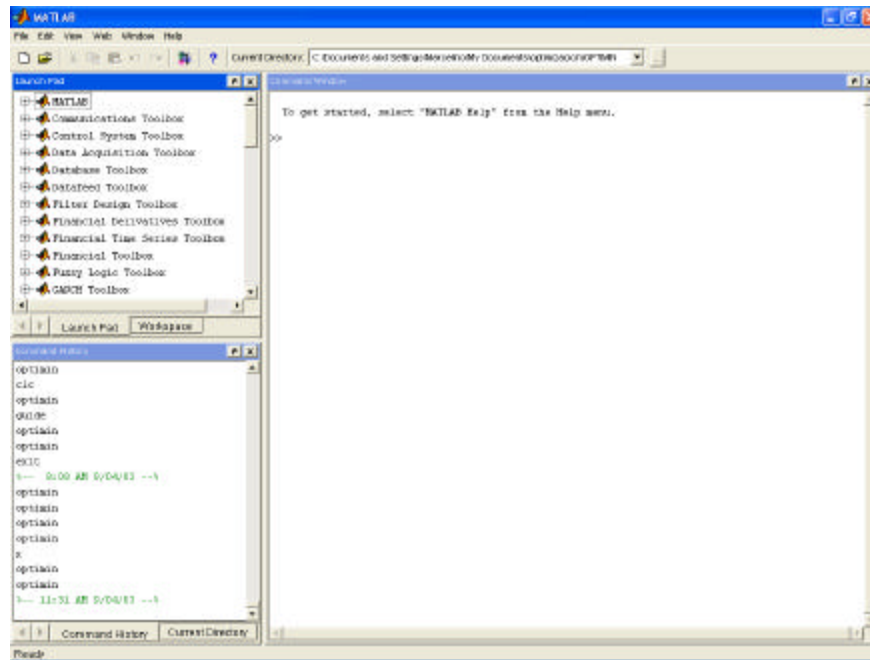


Figura 7.1: Ventana principal de MATLAB 6.0

7.1 Ejecución y Funcionamiento

Para ejecutar **OPTIMIN** es necesario primero ejecutar **MATLAB**. Ya activado **MATLAB** mostrará una ventana como la de la ...gura 7.1. Para aquellos que estén familiarizados con **MATLAB** ir a la sección 7.1.1 página 40, para empezar a trabajar en **OPTIMIN**.

Para empezar a trabajar con **OPTIMIN** es necesario cambiarse al directorio donde se encuentra, por lo que en **Current Directory** hay que darle la dirección donde está el programa. Por ejemplo, si **OPTIMIN** está en **C:\Documents and Settings\Marcelino\My Documents\Optimizacion**, poner dicha dirección en **Current Directory**, como lo muestra la ...gura 7.2.

Una manera más fácil de dar el directorio de trabajo es como lo muestra la ...gura 7.3, donde hay que hacer click en el ícono donde están los tres puntos [...] y buscar la carpeta donde se encuentre **OPTIMIN**, seleccionarla y dar **Ok**.

7.1.1 Ventana Principal de OPTIMIN

Una vez que se tiene la dirección de trabajo correcta, teclear en el **Command Window** de **MATLAB**:

```
>>optimin Ñ
```

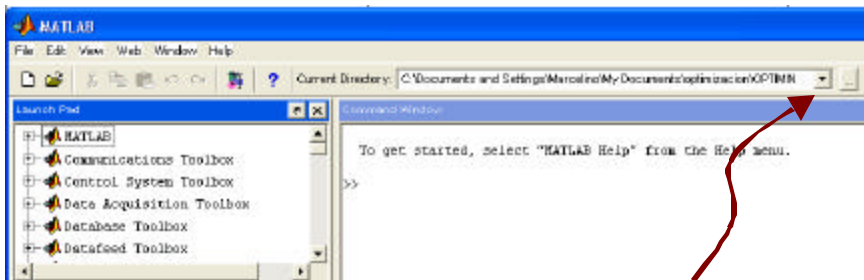


Figura 7.2: En el Current Directory se da la dirección de la carpeta donde se va a trabajar.

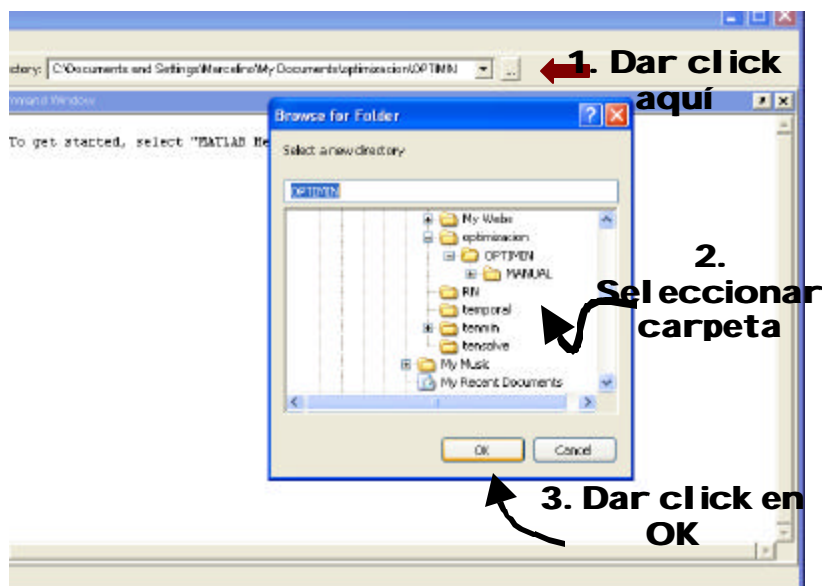


Figura 7.3: Muestra cómo acceder a la dirección de trabajo.

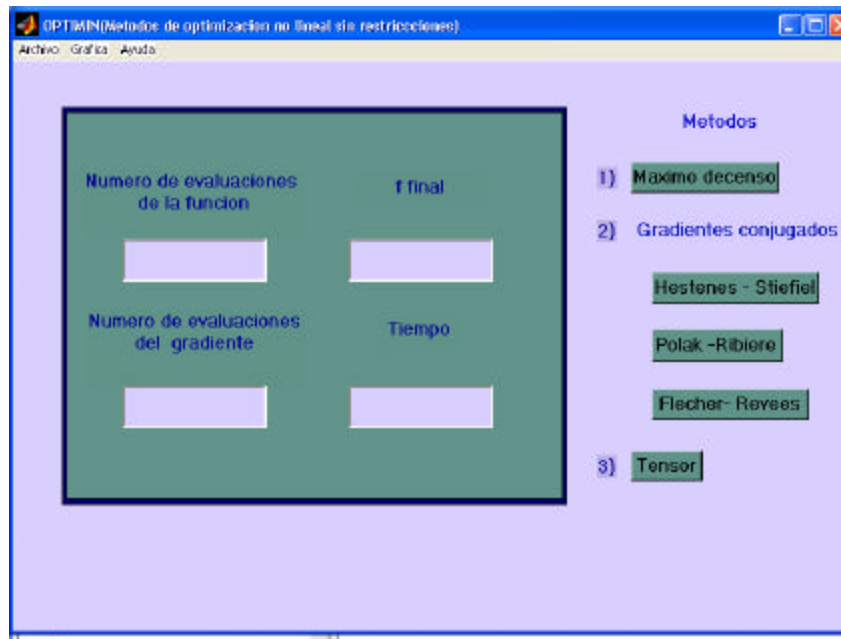


Figura 7.4: Ventana principal de OPTIMIN.

A continuación aparecerá una ventana como la de la figura 7.4. Dicha ventana contiene los Menús: **Archivo**, **Gráfica**¹ y **Ayuda**; así como los iconos de los métodos programados y los campos de texto donde se muestran los resultados después de implementar el método seleccionado.

Cuando se inicia OPTIMIN los iconos de los métodos programados se encuentran desactivados ya que aún no se ha declarado ninguna función a minimizar; por lo que para activarlos es necesario dar una función en el menú Archivo.

En la figura 7.4, los campos de texto que se encuentran en la parte inferior de **Numero de evaluaciones de la función**, **f final**, **Numero de evaluaciones del gradiente**, y **Tiempo**, nos indican cual es el número de evaluaciones de la función f que hizo el método instrumentado, el valor de f en el punto final, el número de evaluaciones del gradiente $r f(x)$ y el tiempo que utilizó dicho método, respectivamente.

7.1.2 Menú Archivo

El menú **Archivo** de la ventana principal (ver figura 7.5), permite:

- ★ Introducir los datos de una función.

¹MATLAB no permite acentuar las palabras.

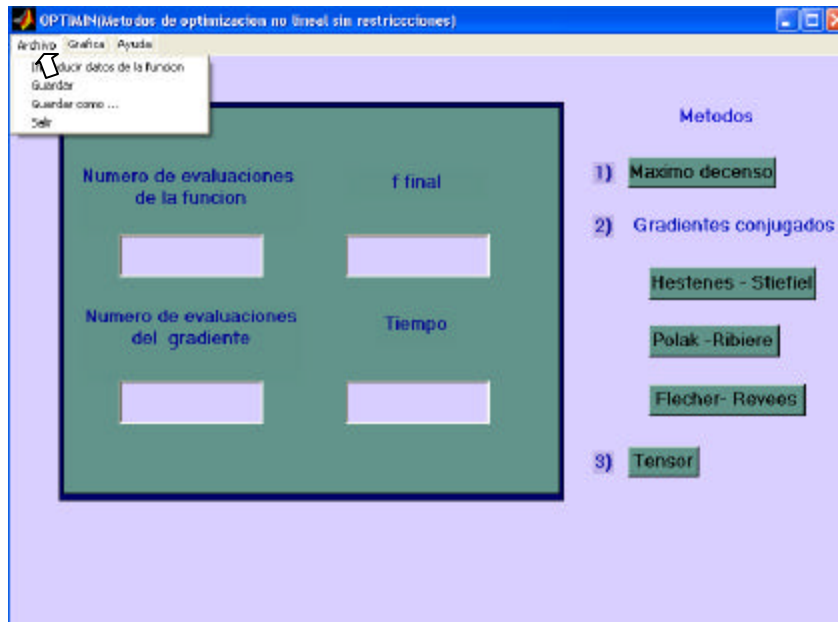


Figura 7.5: Menú Archivo.

- * Guardar los resultados obtenidos al correr algún algoritmo.
- * Salir del programa. (Sólo hacer click en Salir para cerrar OPTIMIN).

Insertar los datos de una Función

Al seleccionar **Introducir datos de la función** en el menú **Archivo**, aparecerá una ventana como la de la ...gura 7.6, donde esta declarada automáticamente la función de Rosenbrock extendida (ver página 32) como una función prueba.

Si desea minimizar la función prueba dada, sólo es necesario:

1. Dar el número de variables (que para este caso es un número par).
2. El punto inicial a usar: x_0 , $10x_0$ o $100x_0$, con $x_0 = [j \ 1.2, 1, \dots, j \ 1.2, 1]$.
3. El número máximo de iteraciones.
4. Hacer click en Aplicar.

Cuando ya se han dado los datos correctamente, los botones de los métodos (en color verde) se activan, permitiendo la búsqueda del mínimo al hacer click en ellos.

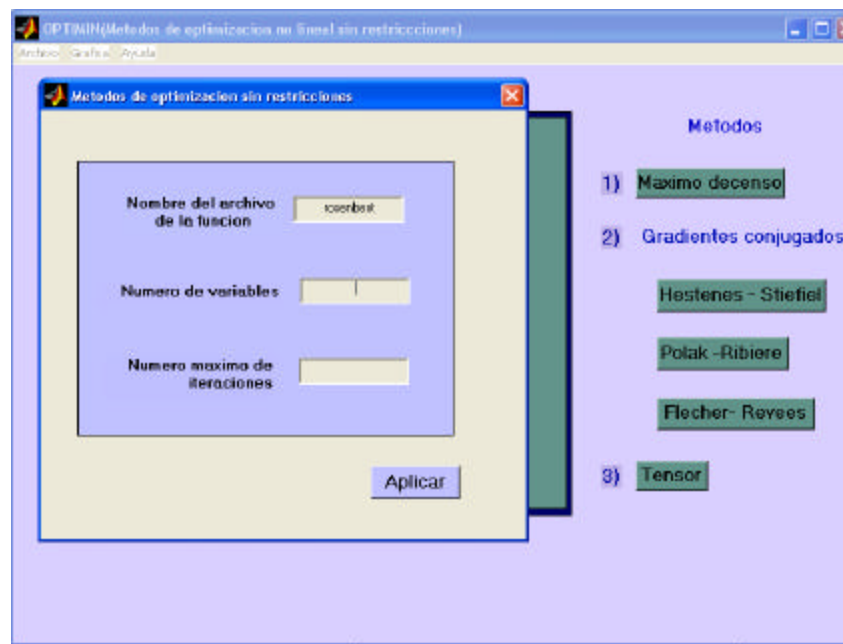


Figura 7.6: Ventana que permite introducir los datos de la función a minimizar.

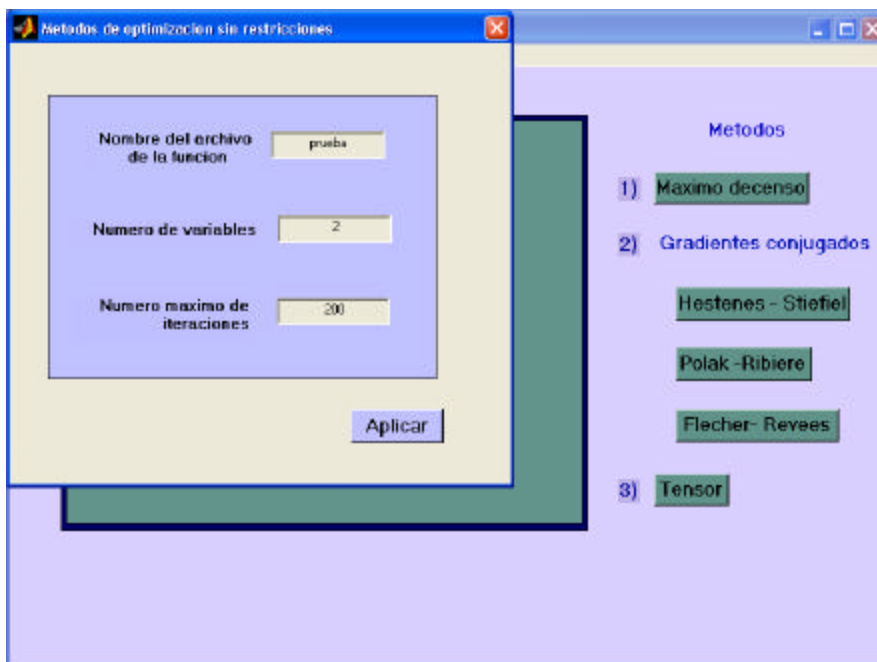


Figura 7.7: Ejemplo de como se dan los datos de una función a minimizar.

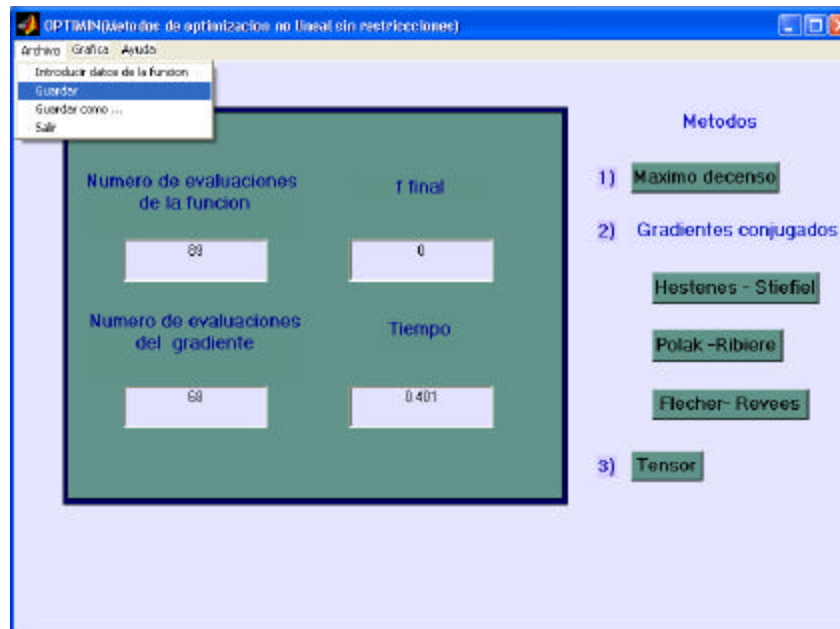


Figura 7.8: Al seleccionar Guardar, OPTIMIN almacena los resultados del método en salioptimin.mat.

Si lo que se desea es encontrar el mínimo de una función que no está aún declarada, es necesario escribir en los campos de texto (Figura 7.6) el nombre del archivo `.m` (previamente escrito en MATLAB), el número de variables y el número máximo de iteraciones de...nidos para esa función, como lo muestra la Figura 7.7.

Para saber cómo escribir los archivos `.m` de las funciones que utilizará OPTIMIN, ver el apartado Declaración de funciones a minimizar página 50 de esta misma sección.

Cuando ya se haya dado toda la información necesaria, hacer click en el método que se desee para empezar a encontrar el mínimo de la función dada.

Guardar información

Una vez que ya se haya corrido algún método y se tenga la información proporcionada por el mismo, ya se puede guardar dicha información si se desea. La Figura 7.8 nos muestra cómo podemos almacenar dicha información.

Al dar click en la opción Guardar, OPTIMIN automáticamente guarda la información generada por el algoritmo elegido en un archivo llamado salioptimin.mat, donde se encuentra una variable de tipo struct llamada salida que es donde está la información.

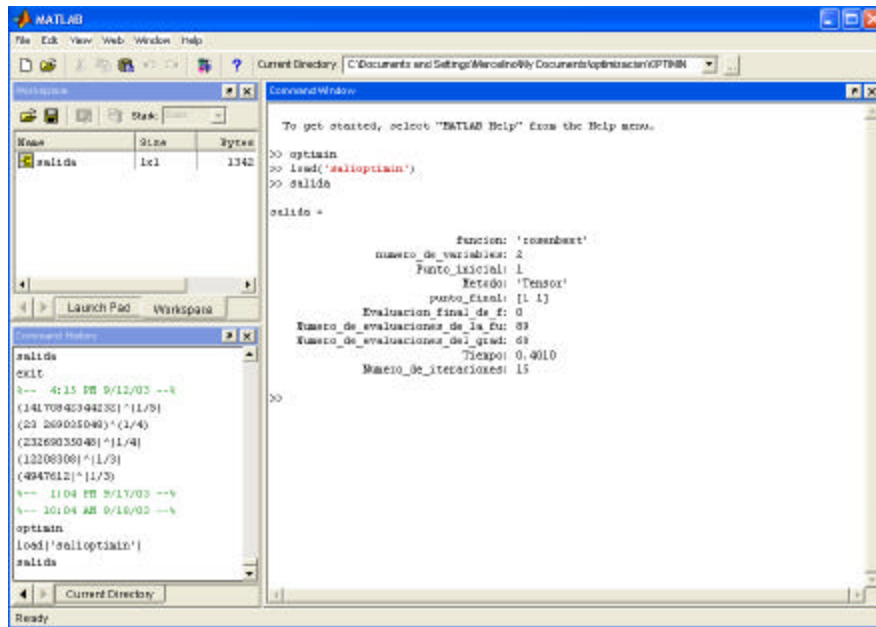


Figura 7.9: Muestra la forma de acceder a los resultados almacenados.

Si se desea acceder a dicha información, en el Command Window de MATLAB escribir:

```
>> load('salioptimin')  $\bar{A}$ 
```

Esto hace que MATLAB cargue la información almacenada en salioptimin. Para acceder a dicha información escribir:

```
>> salida  $\bar{A}$  para lo cual aparecerá algo similar a lo de la ...gura 7.9.
```

La opción **Guardar como ...** del menú **Archivo** (ver ...gura 7.8) realiza lo mismo que la opción salvar antes descrita, excepto que esta última permite que el usuario asigne el nombre que él desee al archivo donde se guardará la información. Para acceder a dicha información se hace lo mismo que en la opción salvar, solo que en este caso hay que escribir:

```
>> load('nombre del archivo')  $\bar{A}$  y después
>> salida  $\bar{A}$ 
```

7.1.3 Menú Grá...ca

Una vez que ya se tiene la información proporcionada por algún algoritmo, podemos gra...car el comportamiento del mismo en el tiempo. Es decir, el tiempo que se requirió para encontrar el punto x^m se particiona en intervalos (t_i, t_{i+1}) y en cada extremo del intervalo se calcula $f(x_{t_i})$, $i = 0, 1, 2, \dots$. Para hacer todo esto solo es necesario hacer click en **Ver grá...ca** del método del menú **Grá...ca** (ver ...gura 7.10) para que aparezca la grá...ca (ver ...gura 7.11).

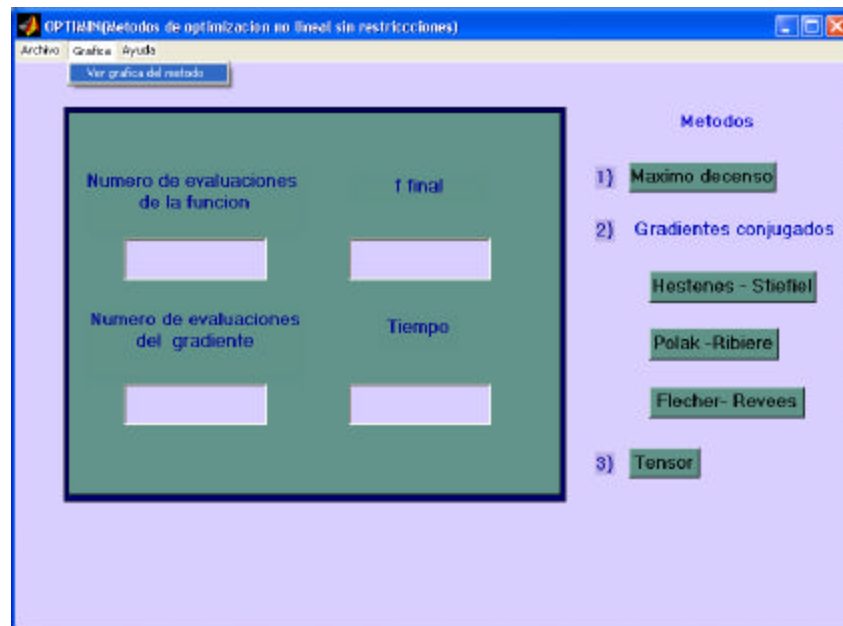


Figura 7.10: La opción Ver gra...ca del metodo muestra el comportamiento del algoritmo (implementado) en el tiempo.

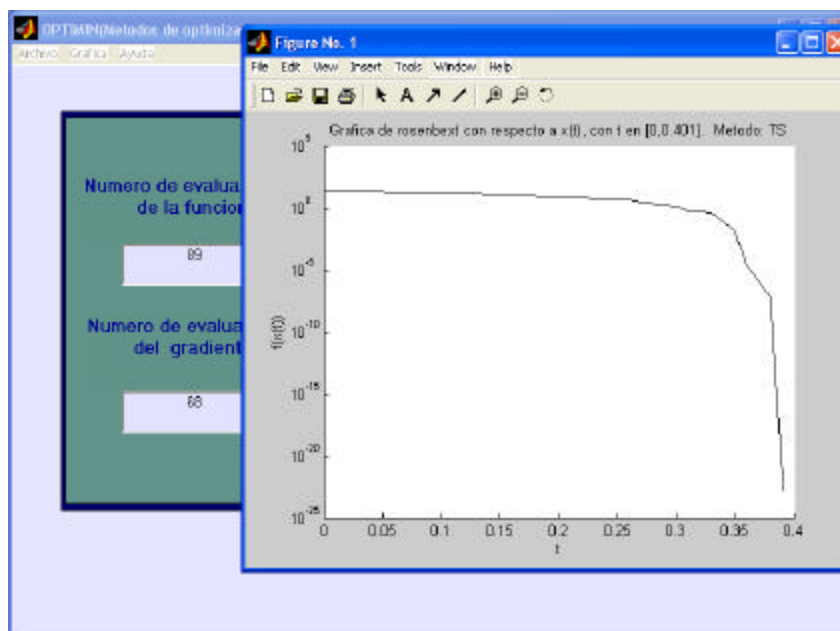


Figura 7.11: Gráfica del comportamiento del método implementado.

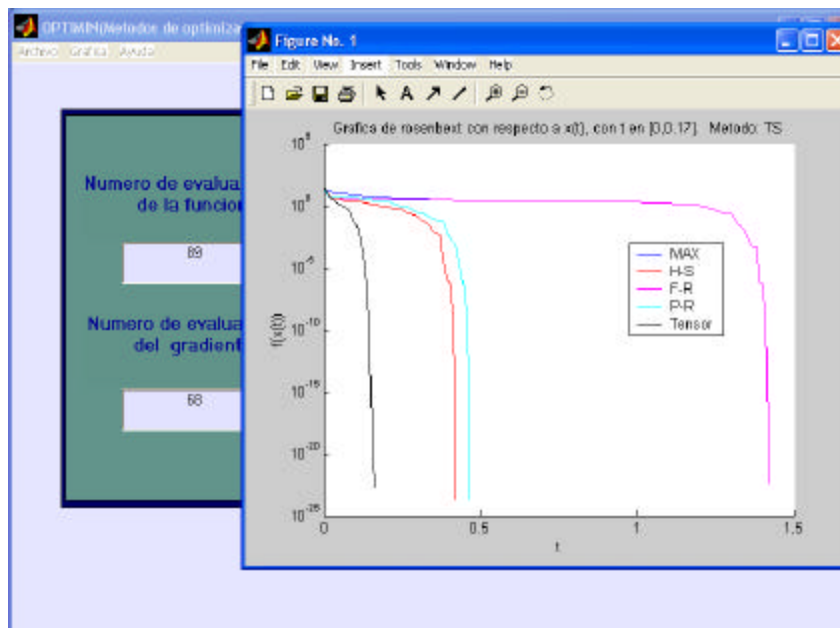


Figura 7.12: Gráfica de los métodos implementados.

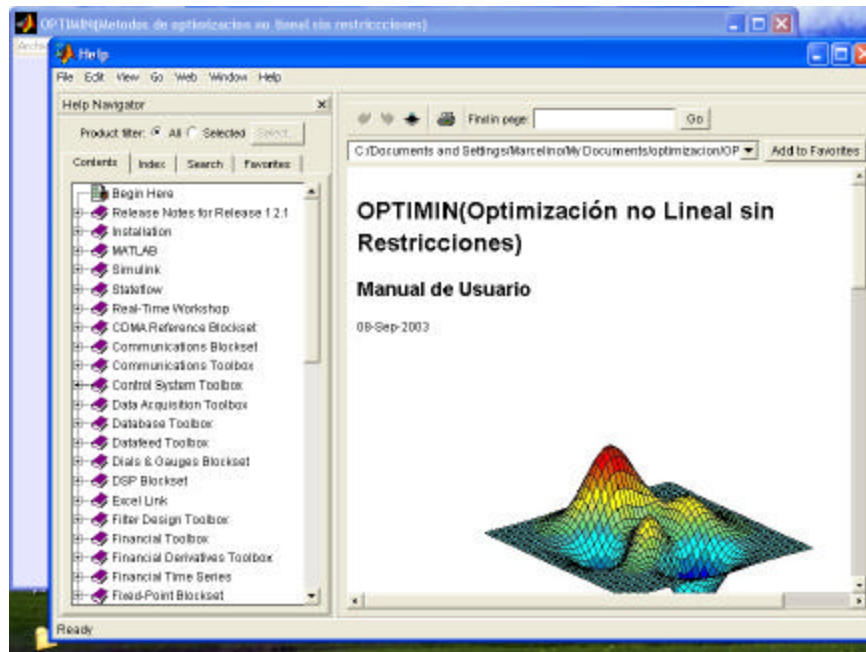


Figura 7.13: El menú Ayuda permite al usuario tener ayuda en línea.

Si no se cierra la ventana que muestra la gráfica del método y cada vez que se corra un método se grafique éste, se puede obtener una gráfica como la de la figura 7.12. La cual se muestra con el eje y en forma logarítmica.

7.1.4 Menú Ayuda

El menú Ayuda contiene el manual de usuario descrito en este capítulo y su objetivo es proporcionar ayuda en línea, ya que es más cómodo y fácil de acceder porque está incluido en el help de MATLAB. Cuando se hace click en el menú Ayuda, aparece una ventana como la que muestra la figura 7.13.

7.2 Declaración de funciones a minimizar

Para minimizar una función que no ha sido declarada antes es necesario escribir un archivo de tipo `.m` en MATLAB. Para lo cual hay que realizar los siguientes pasos:

1. Abrir el M-file editor(en caso de no estar abierto): en MATLAB hacer click en el ícono que señala la flecha roja de la figura 7.14, la cual abrirá una ventana como la que muestra la figura 7.15 (este es el M-file

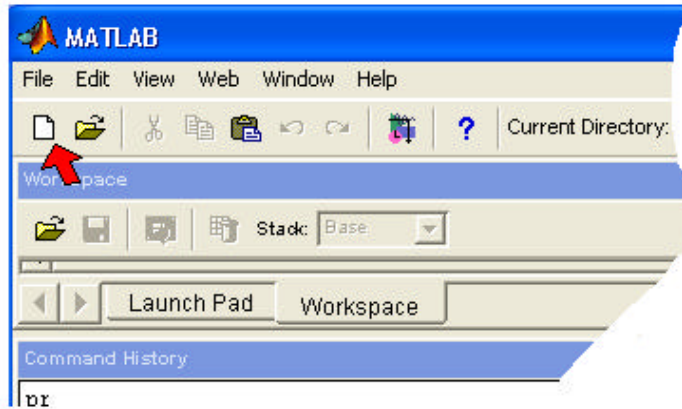


Figura 7.14: Dar click donde señala la flecha roja, para crear un nuevo archivo `.m`.

editor). Una manera equivalente de hacer esto es la siguiente: en el archivo File de MATLAB elegir New y después M-...le.

2. **Abrir la función rosenbext** (Rosenbrock extendida): presionar el ícono que muestra la figura 7.16, el cual permitirá abrir cualquier archivo tipo `.m`. En este caso se requiere abrir el archivo `rosenbext`. El código de esta función se muestra en la figura 7.17.
3. Copiar todo el código del archivo `rosenbext.m` a el nuevo archivo, como lo muestra la figura 7.18. Hay que tener mucho cuidado de **NO** modificar ninguna parte del código de `rosenbext`, ya que de hacerlo puede suceder que esta función deje de operar correctamente.
4. Al revisar el código copiado al nuevo archivo, se puede notar que existen cuatro partes donde se enuncia

```
%
%      CORTE AQUÍ.
%
%
```

Cada una de ellas corresponde a la definición de: punto inicial, función a minimizar, gradiente de la función y hessiana de la función. Todas esas partes deben de ser reemplazadas por las definiciones de la nueva función a minimizar.

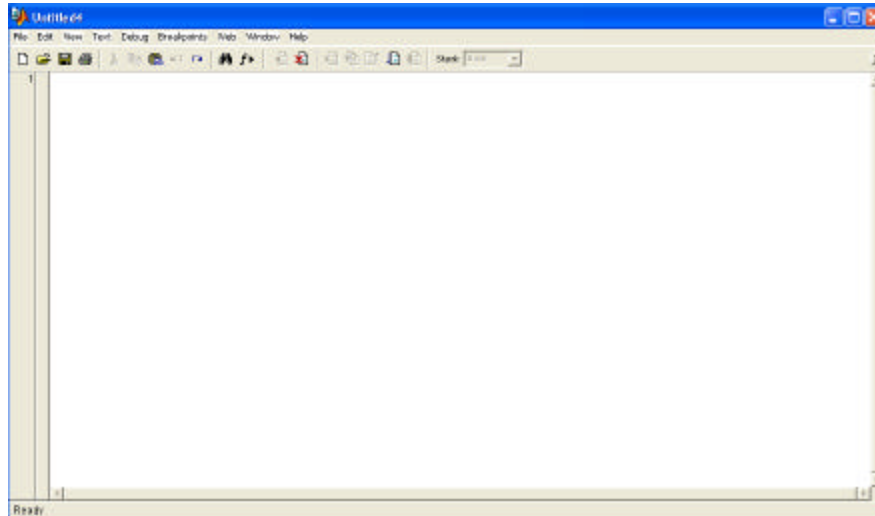


Figura 7.15: M-...le editor.

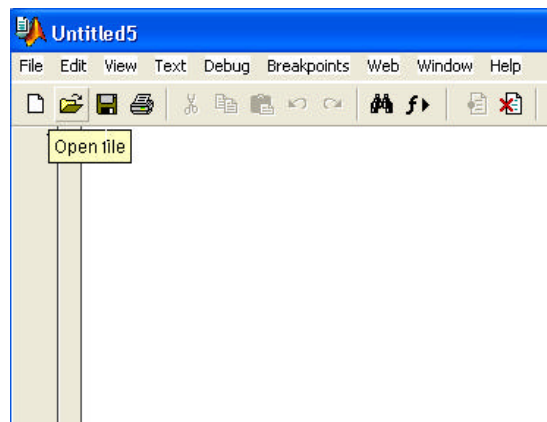
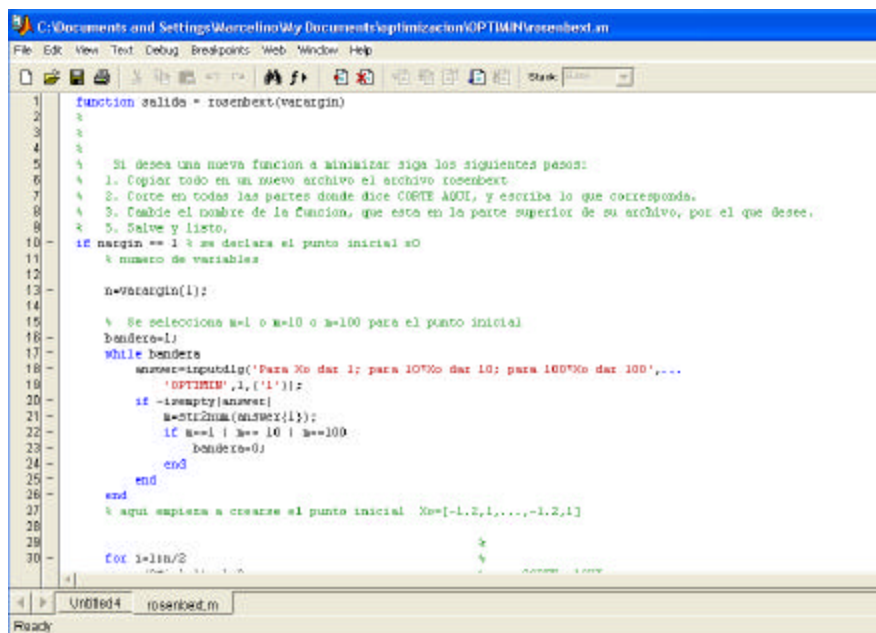


Figura 7.16: Este icono permite abrir archivos tipo *.m.



```

1 function salida = rosenbext(varargin)
2 %
3 %
4 %
5 % Si desea una nueva función a minimizar siga los siguientes pasos:
6 % 1. Copiar todo en un nuevo archivo el archivo rosenbext
7 % 2. Corte en todas las partes donde dice CORTE AQUÍ, y escriba lo que corresponda.
8 % 3. Cambie el nombre de la función, que está en la parte superior de su archivo, por el que desee.
9 % 4. Salve y listo.
10 if nargin == 1 % se declara el punto inicial x0
11 % número de variables
12
13     n = varargin{1};
14
15     % Se selecciona n=1 o n=10 o n=100 para el punto inicial
16     bandera=1;
17     while bandera
18         answer=inputdlg('Para %d dar 1; para 10% dar 10; para 100% dar 100',...
19             'OPTIMIN',1,{'1'});
20         if ~isempty(answer)
21             n=str2num(answer{1});
22             if n==1 | n==10 | n==100
23                 bandera=0;
24             end
25         end
26     end
27     % aquí empieza a crearse el punto inicial X0=[-1.2,1,...,-1.2,1]
28
29     for i=1:n/2
30

```

Figura 7.17: Función rosenbext.m que nos servirá de base para que se creen nuevos archivos de funciones a minimizar.

```

1 function salida = rosenbext(varargin)
2 %
3 %
4 %
5 % El desea una nueva funcion a minimizar siga los siguientes pasos:
6 % 1. Copiar todo en un nuevo archivo el archivo rosenbext
7 % 2. Corte en todas las partes donde dice CORTE AQUI, y escriba lo que corresponda.
8 % 3. Cambie el nombre de la funcion, que esta en la parte superior de su archivo, por el que desee.
9 % 4. Salve y listo.
10 if nargin == 1 % se declara el punto inicial x0
11     % numero de variables
12
13     n=varargin(1);
14
15     % Se selecciona m=1 o m=10 o m=100 para el punto inicial
16     bandera=1;
17     while bandera
18         answer=inputdlg('Para Xo dar 1: para 10% Xo dar 10: para 100% Xo dar 100',...
19             'OPTIMIN',1,'1');
20         if ~isempty(answer)
21             m=str2num(answer(1));
22             if m==1 | m== 10 | m==100
23                 bandera=0;
24             end
25         end
26     end
27     % aqui empieza a crearse el punto inicial. Xo=[-1.2,1,...,-1.2,1]
28
29     for i=1:n/2
30

```

Figura 7.18: Código del archivo rosenbext.m insertado en el nuevo archivo.

Supóngase por ejemplo que se quiere minimizar la función:

$$f(x_1, x_2) = \frac{5}{3}x_1^6 + 4x_1^4 + (x_1 - 2x_2)^2 + 4x_2^4, \quad (7.2)$$

con punto inicial $x_0 = (4.7, -0.9)$.

El gradiente y la hessiana de la función 7.2, son respectivamente:

$$\begin{aligned} \nabla f(x_1, x_2) &= \begin{pmatrix} 10x_1^5 + 16x_1^3 + 2(x_1 - 2x_2) \\ 4(x_1 - 2x_2) + 16x_2^3 \end{pmatrix}, \quad y \\ \nabla^2 f(x_1, x_2) &= \begin{pmatrix} 50x_1^4 + 48x_1^2 + 2 & -2 \\ -2 & 48x_2^2 + 8 \end{pmatrix}. \end{aligned}$$

Donde aparece el primer CORTE AQUÍ, se elimina esa parte de código para dar el punto inicial, por lo que escribiremos

$x = [4.7; -0.9]$; ver la figura 7.19.

Hay que mencionar que el punto inicial depende del tipo de función y de la dimensión de la misma. Para el ejemplo de Rosenbrock extendida el número de variables viene dada por n en el código de rosenbext.m. Se sugiere dar una buena revisada a dicho archivo para familiarizarse con la creación de funciones a minimizar.

```

1 function salida = rosenbext(varargin)
2 %
3 %
4 %
5 % El desea una nueva funcion a minimizar siga los siguientes pasos:
6 % 1. Copiar todo en un nuevo archivo el archivo rosenbext
7 % 2. Corte en todas las partes donde dice CORTE AQUI, y escriba lo que corresponda.
8 % 3. Cambie el nombre de la funcion, que esta en la parte superior de su archivo, por el que desee.
9 % 4. Salve y listo.
10 if nargin == 1 % se declara el punto inicial x0
11     % numero de variables
12
13     n=length(varargin);
14
15     % Se selecciona m=1 o m=10 o m=100 para el punto inicial
16     bandera=1;
17     while bandera
18         answer=inputdlg('Para Xo dar 1: para 10% Xo dar 10: para 100% Xo dar 100',...
19             'OPTIMIN',1,'1');
20         if ~isempty(answer)
21             m=str2num(answer(1));
22             if m==1 | m== 10 | m==100
23                 bandera=0;
24             end
25         end
26     end
27     % aqui empieza a crearse el punto inicial. Xo=[-1.2,1,...,-1.2,1]
28
29     for i=1:n/2
30

```

Figura 7.18: Código del archivo rosenbext.m insertado en el nuevo archivo.

Supóngase por ejemplo que se quiere minimizar la función:

$$f(x_1, x_2) = \frac{5}{3}x_1^6 + 4x_1^4 + (x_1 - 2x_2)^2 + 4x_2^4, \quad (7.2)$$

con punto inicial $x_0 = (4.7, -0.9)$.

El gradiente y la hessiana de la función 7.2, son respectivamente:

$$\begin{aligned} \nabla f(x_1, x_2) &= \begin{pmatrix} 10x_1^5 + 16x_1^3 + 2(x_1 - 2x_2) \\ 4(x_1 - 2x_2) + 16x_2^3 \end{pmatrix}, \quad y \\ \nabla^2 f(x_1, x_2) &= \begin{pmatrix} 50x_1^4 + 48x_1^2 + 2 & -2 \\ -2 & 48x_2^2 + 8 \end{pmatrix}. \end{aligned}$$

Donde aparece el primer CORTE AQUÍ, se elimina esa parte de código para dar el punto inicial, por lo que escribiremos

$x = [4.7; -0.9]$; ver la figura 7.19.

Hay que mencionar que el punto inicial depende del tipo de función y de la dimensión de la misma. Para el ejemplo de Rosenbrock extendida el número de variables viene dada por n en el código de rosenbext.m. Se sugiere dar una buena revisada a dicho archivo para familiarizarse con la creación de funciones a minimizar.

5. Donde aparece el segundo CORTE AQUÍ, se debe eliminar esa parte de código y definir la nueva función a minimizar. Continuando con el ejemplo, se debe escribir (tal cual se muestra):

$$\text{sal}=(5/3)*x(1)^6+4*x(1)^4+(x(1)-2*x(2))^2+4*x(2)^4;$$

ver figura 7.20.

De manera análoga en los últimos dos CORTE AQUÍ, se elimina la parte de código y se introduce el gradiente y la hessiana en dichas partes. En el caso del ejemplo que estamos definiendo, se introduce²:

$$y=[10*x(1)^5+16*x(1)^3+2*(x(1)-2*x(2));-4*(x(1)-2*x(2))+16*x(2)^3];$$

para el gradiente y

$$H=[50*x(1)^4+48*x(1)^2+2,-4;... \\ -4,8+48*x(2)^2];$$

en el caso de la hessiana.

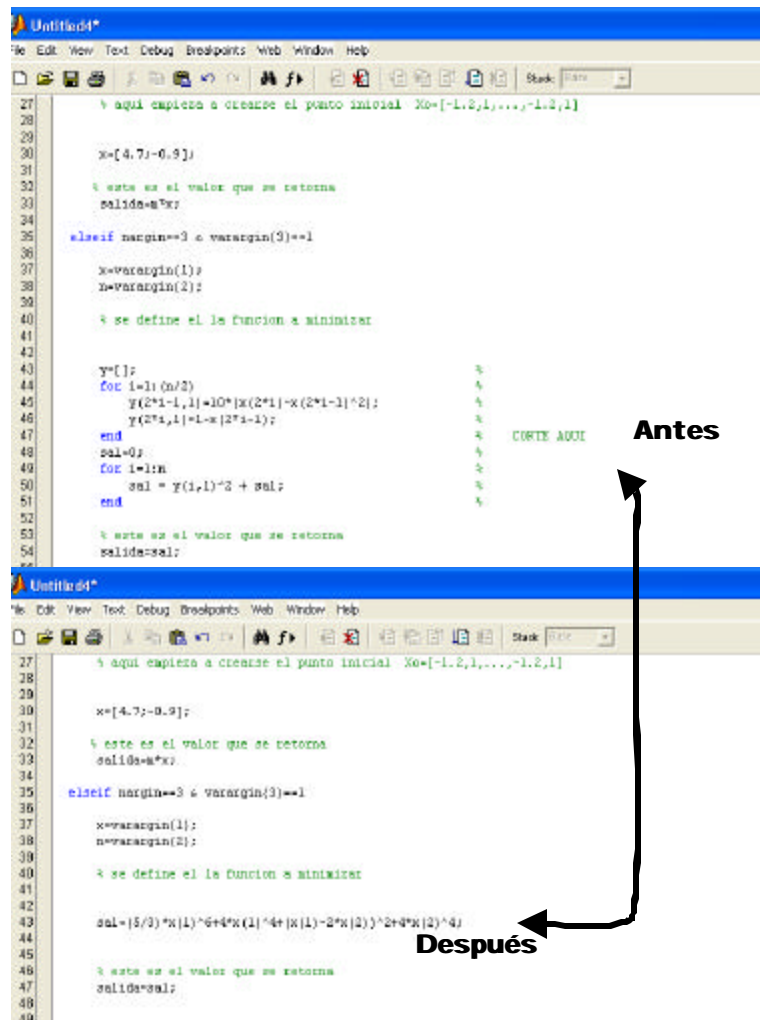
6. Ya que se ha escrito correctamente el archivo *.m de la función a minimizar, lo siguiente es guardar.

Lo primero que hay que hacer es cambiar rosenbext, nombre del archivo localizado en la línea uno del código, por el que se desee. Y para esto se hacen dos recomendaciones:

- (a) Al guardar, siempre hay que dar el mismo nombre de la función, al archivo *.m tal y como lo muestran la figura 7.21.
- (b) Los archivos guardados deberán estar en la misma carpeta que optim.m ver figura 7.21.

7. El archivo almacenado es como el que se muestra en la figura 7.22.

²Se debe escribir tal cual se muestra



```
27 % aqui empieza a crearse el punto inicial Xo=[-1.2,1,...,-1.2,1]
28
29
30 x=[4.7;-0.9];
31
32 % este es el valor que se retorna
33 salida=x*x;
34
35 elseif nargin==3 & varargin(3)==1
36
37     x=varargin(1);
38     n=varargin(2);
39
40     % se define el la funcion a minimizar
41
42
43     y=[];
44     for i=1:(n/2)
45         y(2*i-1,1)=10*(x(2*i)-x(2*i-1))^2;
46         y(2*i,1)=1-x(2*i-1);
47     end
48     sal=0;
49     for i=1:n
50         sal = y(i,1)^2 + sal;
51     end
52
53     % este es el valor que se retorna
54     salida=sal;
```

Antes

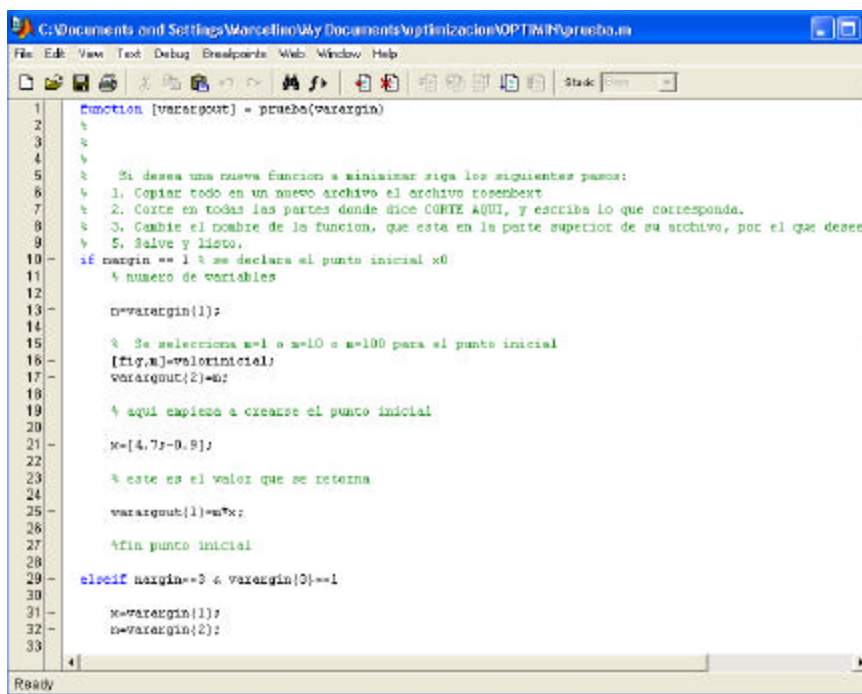
```
27 % aqui empieza a crearse el punto inicial Xo=[-1.2,1,...,-1.2,1]
28
29
30 x=[4.7;-0.9];
31
32 % este es el valor que se retorna
33 salida=x*x;
34
35 elseif nargin==3 & varargin(3)==1
36
37     x=varargin(1);
38     n=varargin(2);
39
40     % se define el la funcion a minimizar
41
42
43     sal=(5/3)*x(1)^6+4*x(1)^4+(x(1)-2*x(2))^2+4*x(2)^4;
44
45
46     % este es el valor que se retorna
47     salida=sal;
```

Después

Figura 7.20: Ejemplo de la forma en que se introduce la función a minimizar.



Figura 7.21: Muestra como se guarda una nueva función a minimizar escrita en un archivo `.m`.



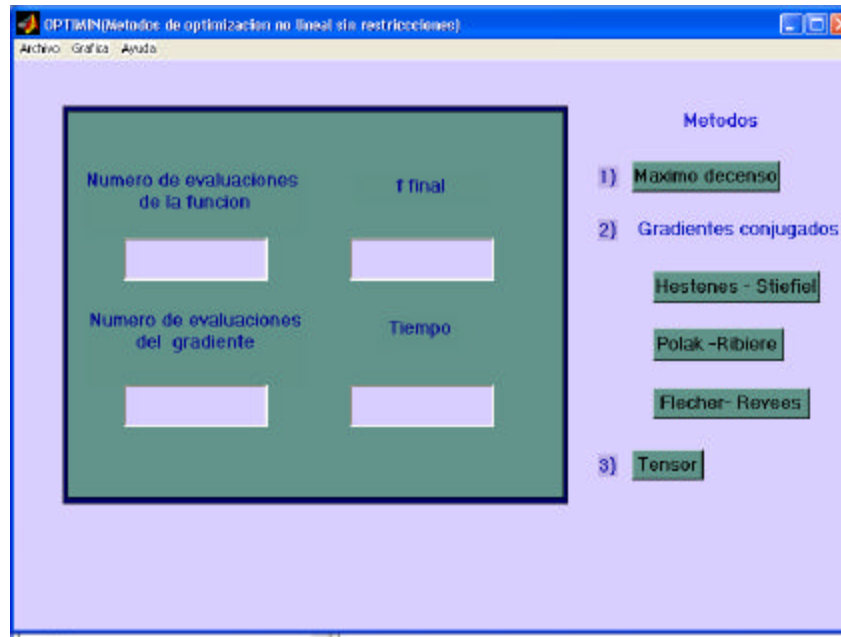
```
1 function [varargout] = prueba(varargin)
2 %
3 %
4 %
5 % Si desea una nueva función a minimizar siga los siguientes pasos:
6 % 1. Copiar todo en un nuevo archivo el archivo rosenbext
7 % 2. Corte en todas las partes donde dice CORTE AQUI, y escriba lo que corresponda.
8 % 3. Cambie el nombre de la función, que este en la parte superior de su archivo, por el que desee.
9 % 5. Salve y listo.
10 if nargin == 1 % se declara el punto inicial x0
11     % numero de variables
12
13     n=varargin(1);
14
15     % Se selecciona n=1 o n=10 o n=100 para el punto inicial
16     [fig,m]=valorinicial;
17     varargout(2)=m;
18
19     % aqui empieza a crearse el punto inicial
20
21     x=[4.7;-0.9];
22
23     % este es el valor que se retorna
24
25     varargout(1)=m*x;
26
27     %fin punto inicial
28
29 elseif nargin==3 & varargin(3)==1
30
31     n=varargin(1);
32     m=varargin(2);
33
```

Figura 7.22: Así queda el archivo de la función a minimizar .

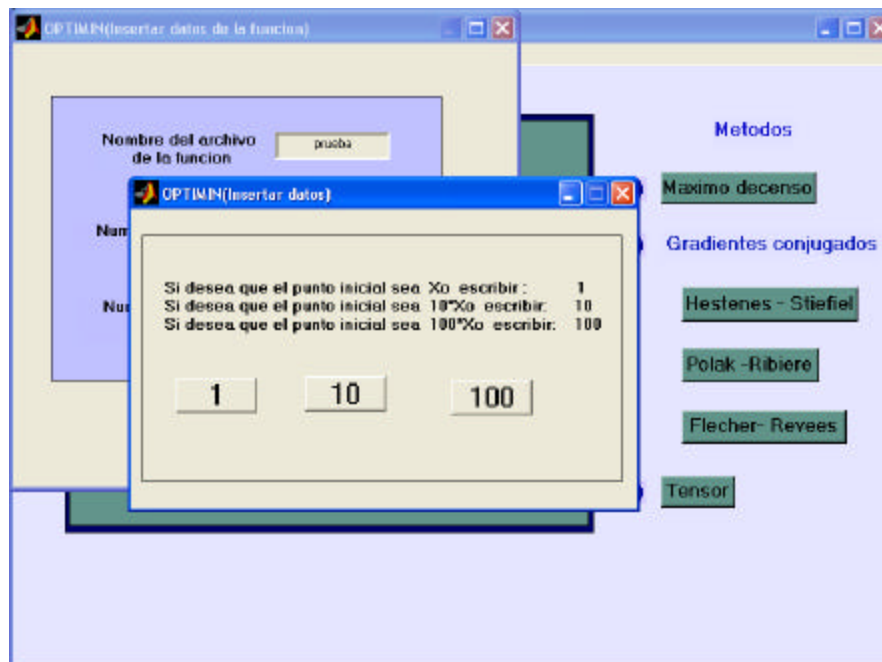
7.3 Ejemplo

A continuación se muestra un ejemplo de como utilizar OPTIMIN con la función prueba dada en la sección anterior

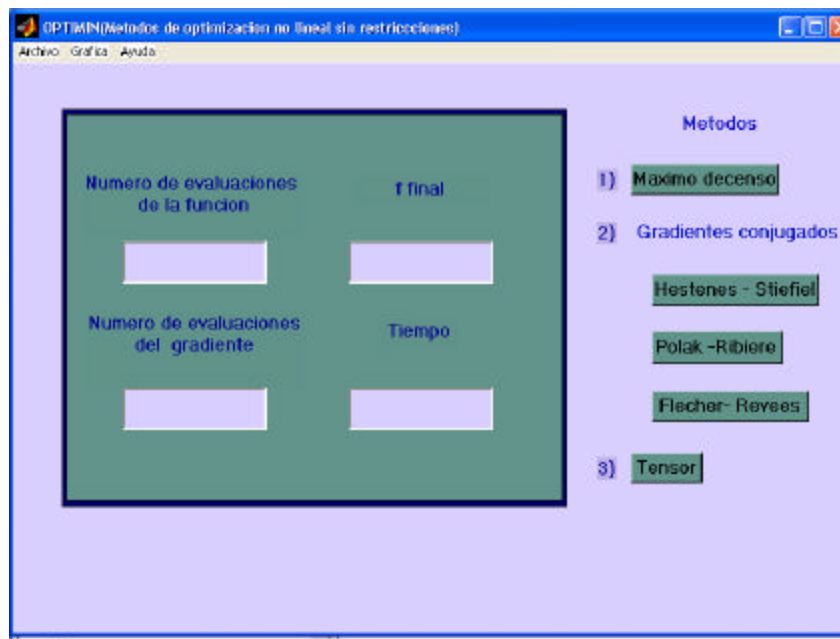
1. Se tecldea optimin en el prompt del Command Window de MATLAB, y aparece una ventana como la siguiente:



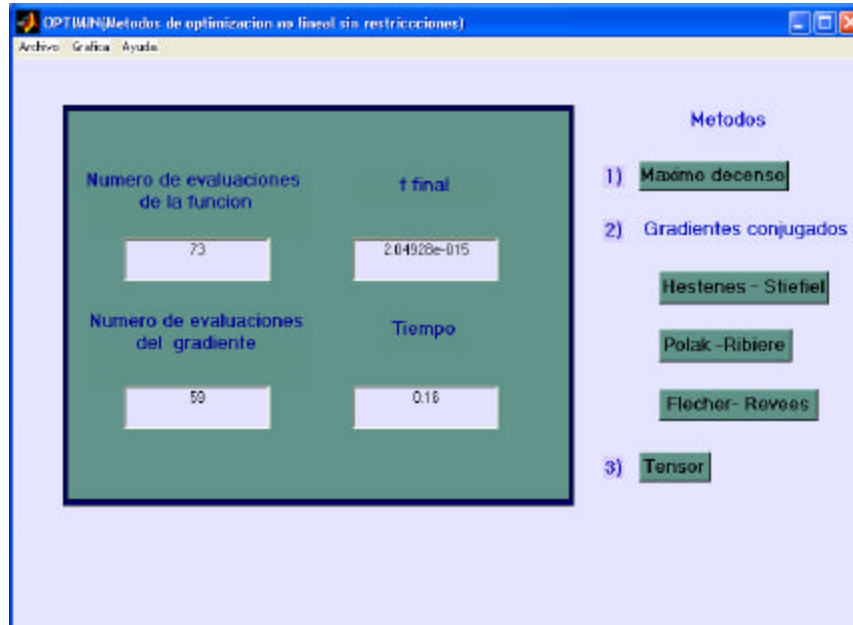
2. Después en el Menú Archivo se selecciona Introducir datos de la función. En la nueva ventana que aparece, escribir prueba en la ventanilla junto a Nombre del archivo de la función. Después junto a Numero de variables escribir 2 y aparecerá una ventana como la siguiente, en la cual seleccionar 1.



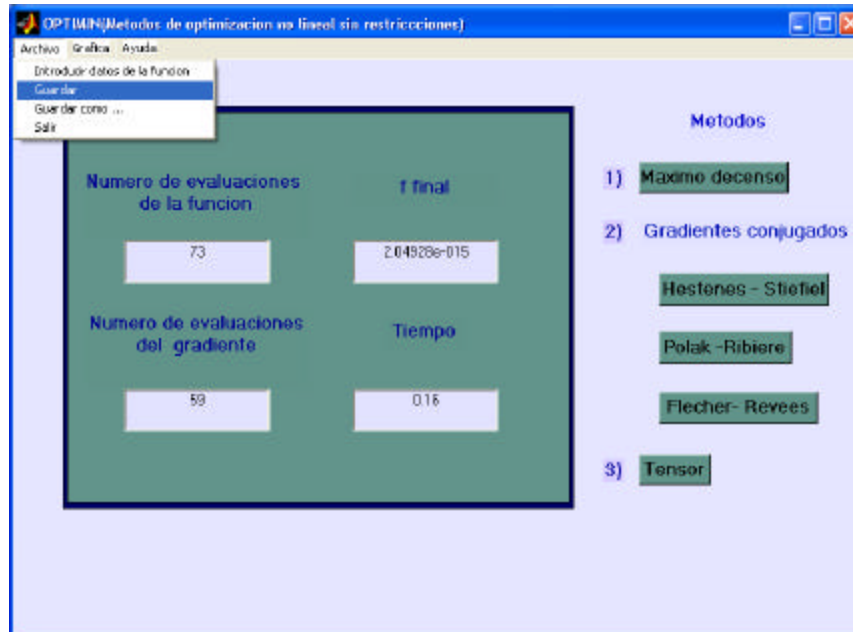
3. Después escribir 200 (se puede elegir cualquier número entero positivo) en la ventanilla junto a Numero maximo de iteraciones y hacer click en Aplicar. Si todos los datos son correctos aparecerá la ventana principal de OPTIMIN.



- Elegir algún método y hacer click en él, por ejemplo Tensor, luego en la ventana principal de OPTIMIN aparece lo siguiente:

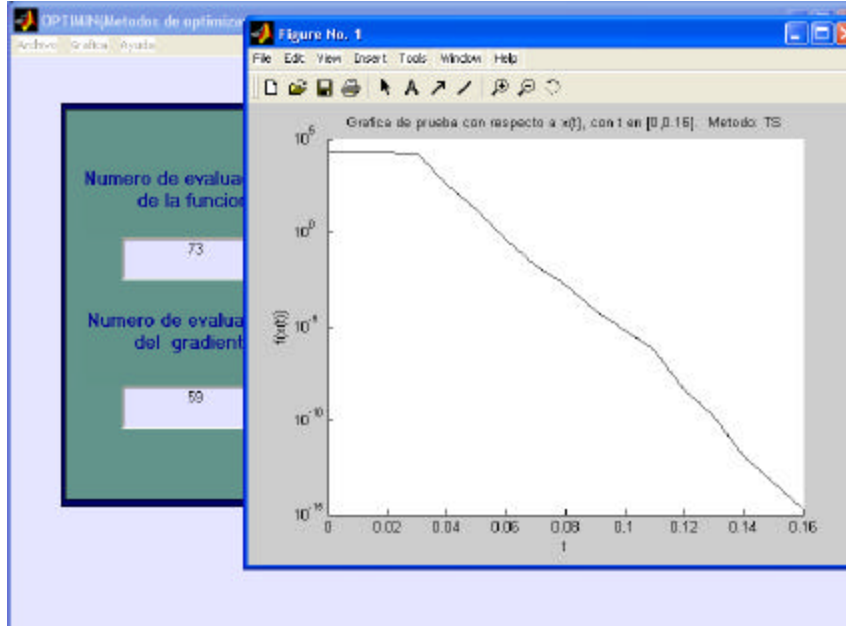


- Seleccionar Guardar en el menú archivo para almacenar la información.

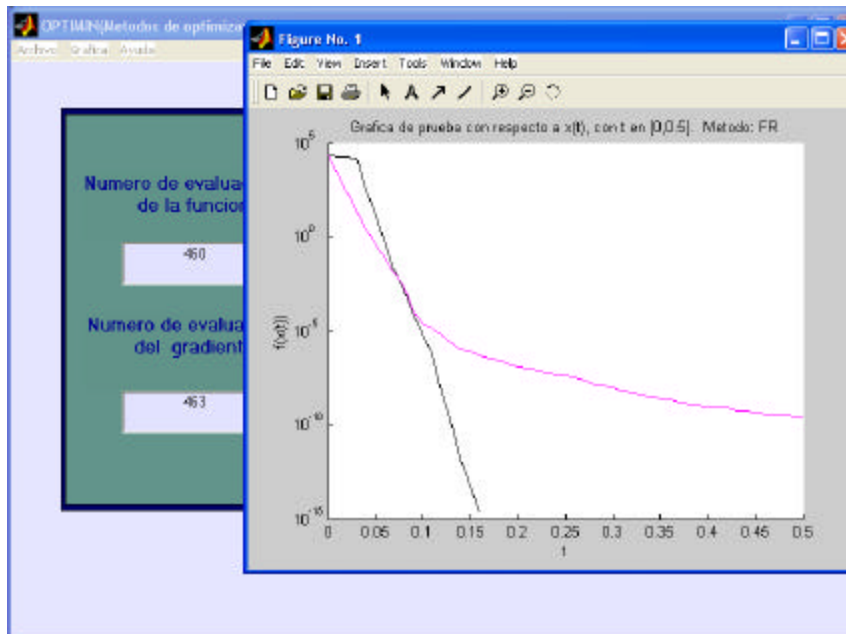


- Para gra...car seleccionar Ver gra...ca del método en el menú Gra...car,

para lo cual aparece la ventana:



7. Se procede a seleccionar otro método por ejemplo Flecher-Reeves, pero sin cerrar la Figura No. 1, y después graficar el método para obtener:



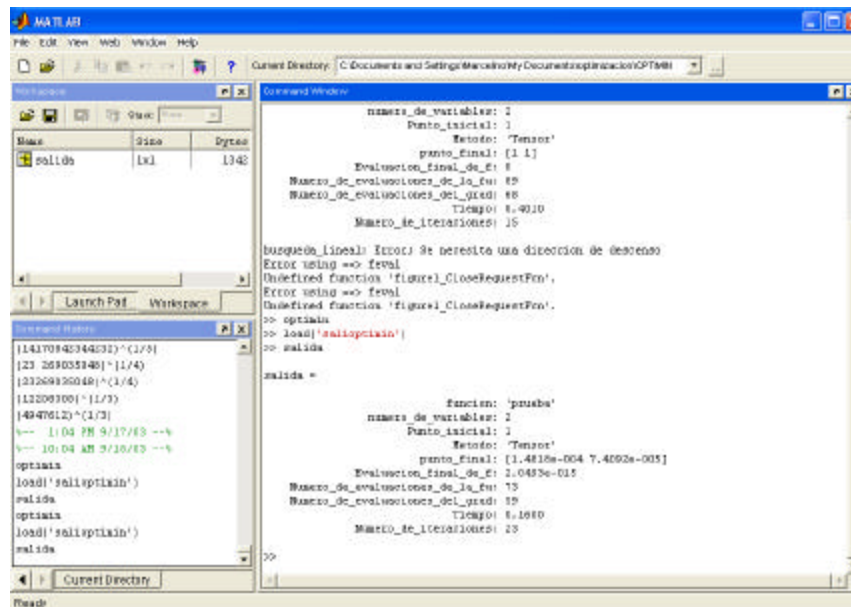
8. Seleccionamos Salir en el menú Archivo para cerrar OPTIMIN.

9. En el prompt de MATLAB se escribe

```
>> load('salioptimin')    ã
```

Aquí salioptimin es el archivo con extensión mat, donde se guardó el resultado del método de tensor. Después escribir en el prompt

```
>>salida    ã    como resultado se obtiene:
```



10. Si se desea obtener cualquier dato que tiene almacenado salida solo escribimos salida.dato, donde dato es cualquiera de los nombres de la izquierda en la ...gura anterior. Por ejemplo si se desea obtener el punto ...nal del método, escribir

```
>> salida.punto_...nal    ã (ver la ...gura siguiente).
```

The screenshot shows the MATLAB environment with the following components:

- File Explorer:** Shows the current directory as 'C:\Documents and Settings\Microsin\My Documents\optimin\OPTIMIN'.
- Workspace:** Lists variables 'ans' (1x2) and 'salida' (1x1).
- Command Window:** Contains the following text:


```

      Metodo: 'Tensor'
      punto_final: [1.4818e-004 7.4092e-015]
      Evaluacion_final_de_f: 2.0493e-115
      Numero_de_evaluaciones_de_la_f: 73
      Numero_de_evaluaciones_de_grad: 59
      Tiempo: 0.1600
      Numero_de_iteraciones: 23

      >> load('salioptimin')
      >> salida

      salida =

          funcion: 'prueba'
          numero_de_variables: 2
          punto_inicial: 1
          Metodo: 'Tensor'
          punto_final: [1.4818e-004 7.4092e-015]
          Evaluacion_final_de_f: 2.0493e-115
          Numero_de_evaluaciones_de_la_f: 73
          Numero_de_evaluaciones_de_grad: 59
          Tiempo: 0.1600
          Numero_de_iteraciones: 23

      >> salida.punto_final

      ans =

      1.0e-003 *

      0.1482  0.0741
      
```
- Command History:** Shows the sequence of commands: 'optimin', 'load('salioptimin')', 'salida', 'optimin', 'load('salioptimin')', 'salida', 'salida.punto_final', 'salida', 'load('salioptimin')', 'salida', 'salida.punto_final'.

El punto $x^* = (0, 0)$ es el minimizador global de esta función que se está minimizando (ver (7.2) página 54). Esto porque $f(x_1, x_2)$ es convexa y x^* satisface las condiciones del teorema 1.9 (csso), página 3, esto es, $r f(0, 0) = 0$ y $r^2 f(0, 0) = \begin{matrix} 2 & i & 4^* \\ i & 4 & 8 \end{matrix} > 0$. Todo esto con...rma lo obtenido por OPTIMIN.

11. Fin.

Bibliografía

- [1] R. B. Schnabel and T. Chow, "Tensor Methods for Unconstrained Optimization using second derivatives", *SIAM Journal on Optimization*, 1991, pp.293-315.
- [2] Bouaricha Ali, "Tensor Methods for Large, Sparse Unconstrained Optimization", *SIAM Journal on Optimization*, 1997, pp.732-756.
- [3] Nocedal Jorge, "Theory of Algorithms for Unconstrained Optimization", *Acta Numérica*(1991), pp.1-37.
- [4] J. E. Dennis and R. B. Schnabel, "Numerical Methods for Unconstrained Optimization and Nolinear Equations", SIAM, Usa, 1996.
- [5] Edwing K. P. Chong and Stanislaw H. Żak, "An introduction to optimization", John Wiley & Sons, 1996.
- [6] Nocedal Jorge and Stephen J. Wright, "Numerical Optimization", Springer-Verlag, USA, 1999.
- [7] I. Bongartz, A.R. Conn, Nick Gould, and Ph.L. Toint, "Constrained and Unconstrained Testing Environment", PUBLICATIONS DU DÉPARTEMENT DE MATHÉMATIQUE, 1993.

Índice Analítico

- Búsqueda
 - lineal, 4
 - por región de con...anza, 4
- Condición de Armijo, 9
- Condición necesaria
 - de primer orden, 2
 - de segundo orden, 3
- Condición su...ciente
 - de segundo orden, 3
- Condiciones
 - de Wolfe, 10
 - Fuertes de Wolfe, 10
- Continuamente diferenciable, 2
 - de orden 2, 3
- Gradiente, 2
- Método
 - gradientes conjugados, 6
 - Flecher-Reeves, 6
 - Hestenes-Stiefel, 8
 - Polak-Ribiere, 8
 - máximo descenso, 5
- Matriz
 - de...nida positiva, 3
 - hessiana de una función, 3
 - semide...nida positiva, 3
- Minimizador
 - global, 1
 - local, 1
- Punto estacionario, 3
- Tamaño de paso, 9